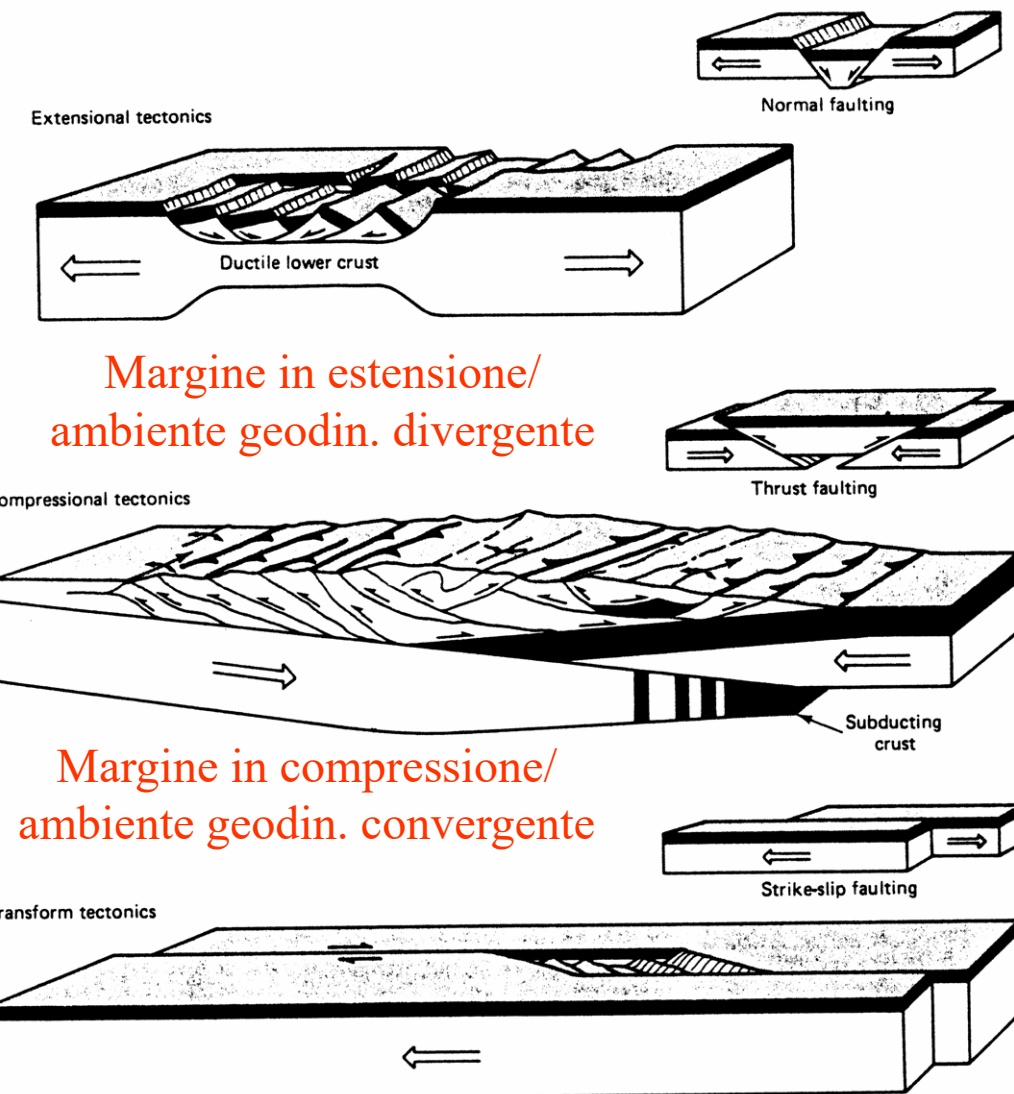


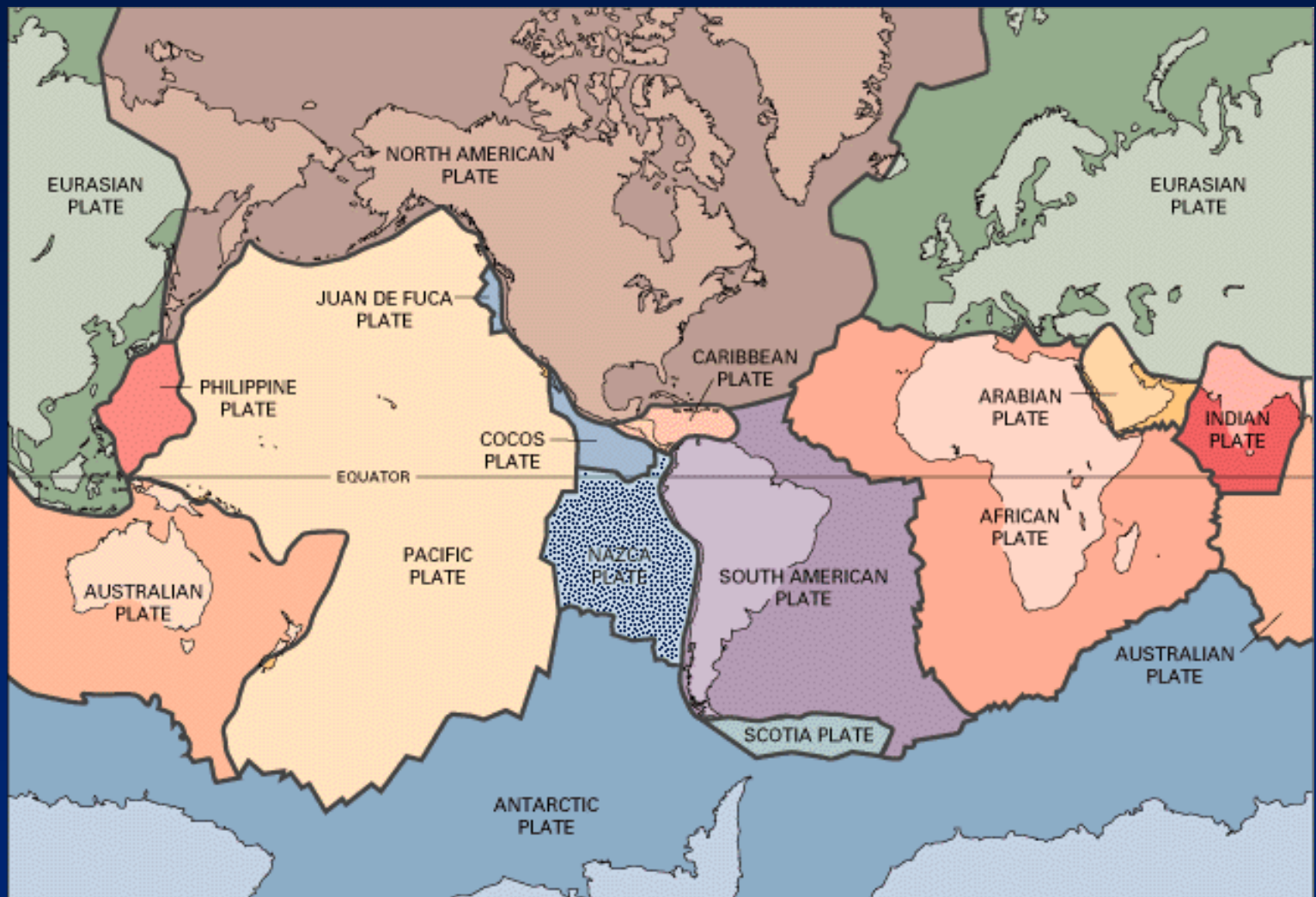
# Tettonica regionale



- ❖ Ambienti tettonici (o geodinamici) e relative associazioni di strutture tettoniche.
- ❖ Attenzione: non sempre esiste una relazione univoca tra ambiente e tipo di strutture tettoniche in esso contenute  
....

**Esempio: associazioni di strutture estensionali (faglie normali) associate ad ambienti compressivi**

# Placche tettoniche (semplificate)



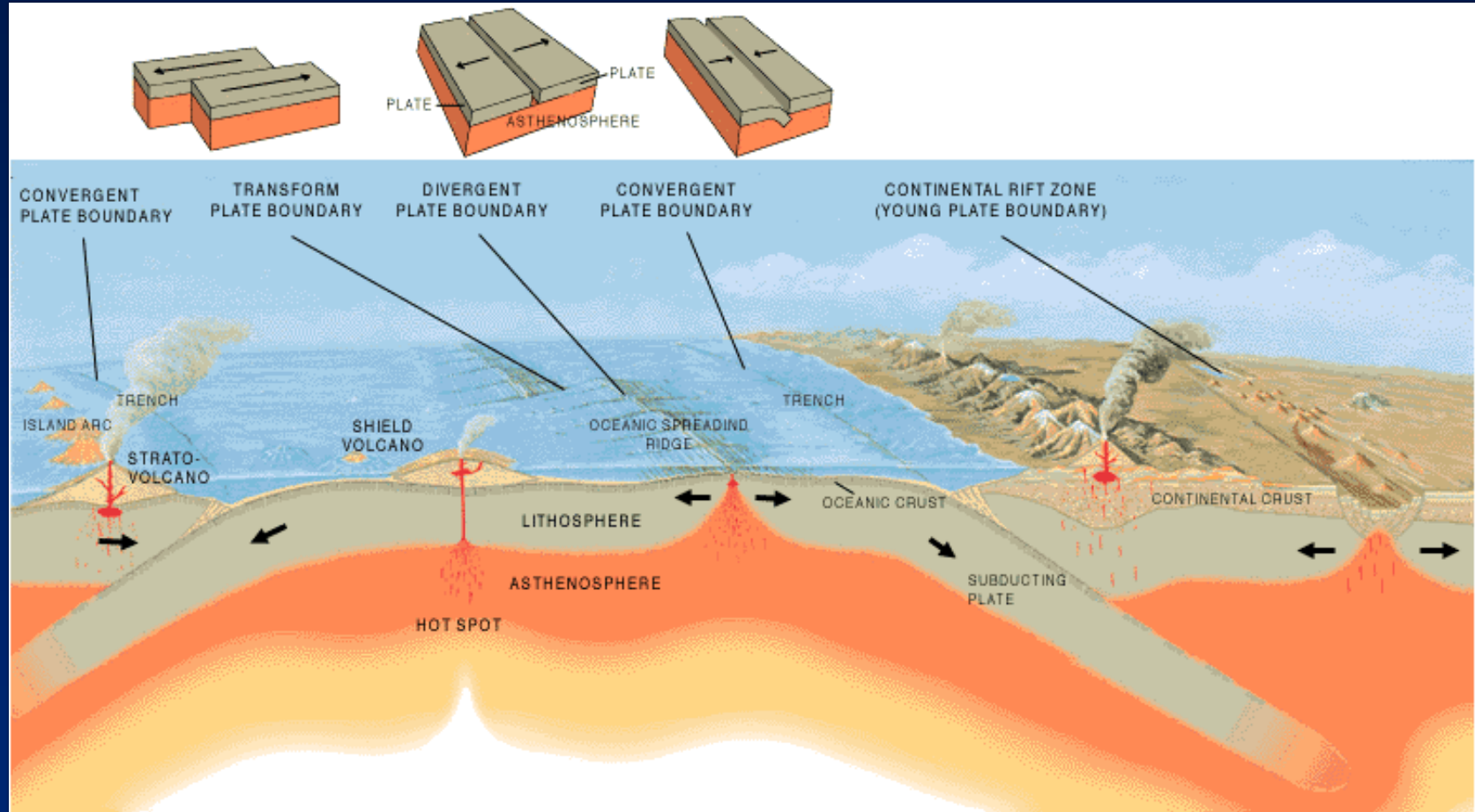
Da "The dinamic Earth" in USGS Web Site

## Placche tettoniche e limiti tra placche

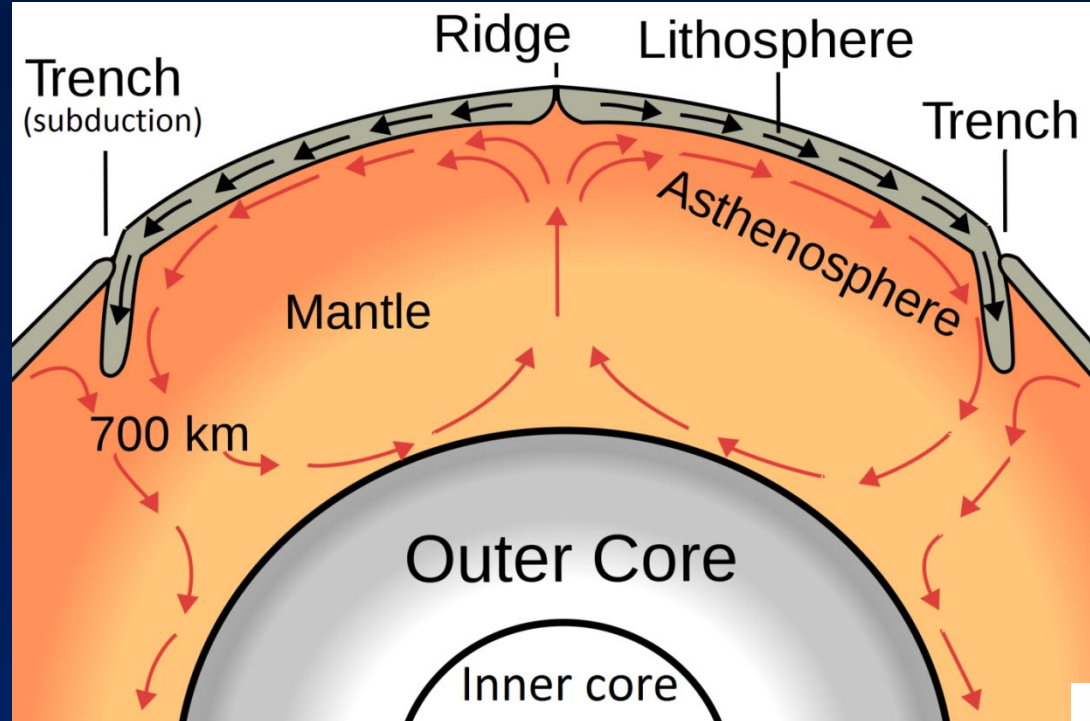


[https://commons.wikimedia.org/wiki/File:Tectonic\\_plates\\_boundaries\\_detailed-en.svg](https://commons.wikimedia.org/wiki/File:Tectonic_plates_boundaries_detailed-en.svg)

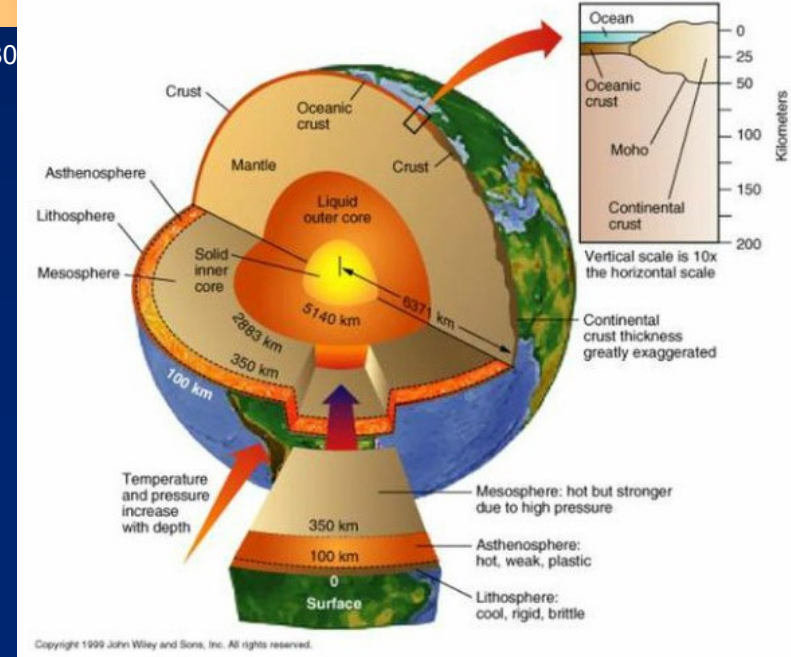
# Tipo di margini di placca e ambienti geodinamici



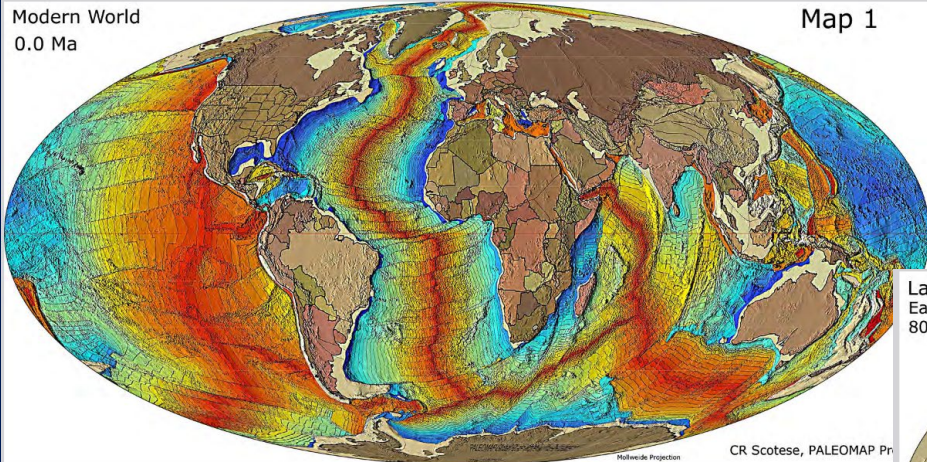
<http://factsanddetails.com/world/cat51/sub323/item2212.html>



[[http://upload.wikimedia.org/wikipedia/commons/thumb/2/27/Oceanic\\_spreading.svg/1280px-Oceanic\\_spreading.svg.png](http://upload.wikimedia.org/wikipedia/commons/thumb/2/27/Oceanic_spreading.svg/1280px-Oceanic_spreading.svg.png)]



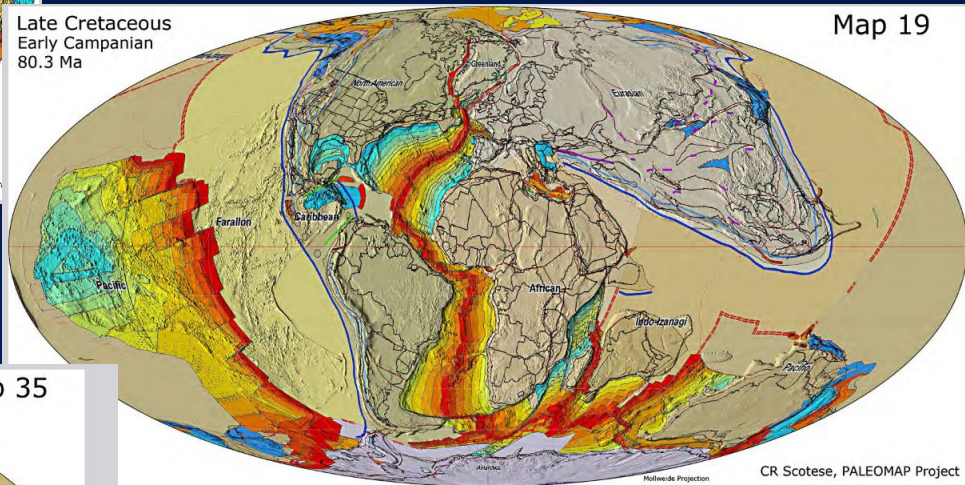
Modern World  
0.0 Ma



Map 1

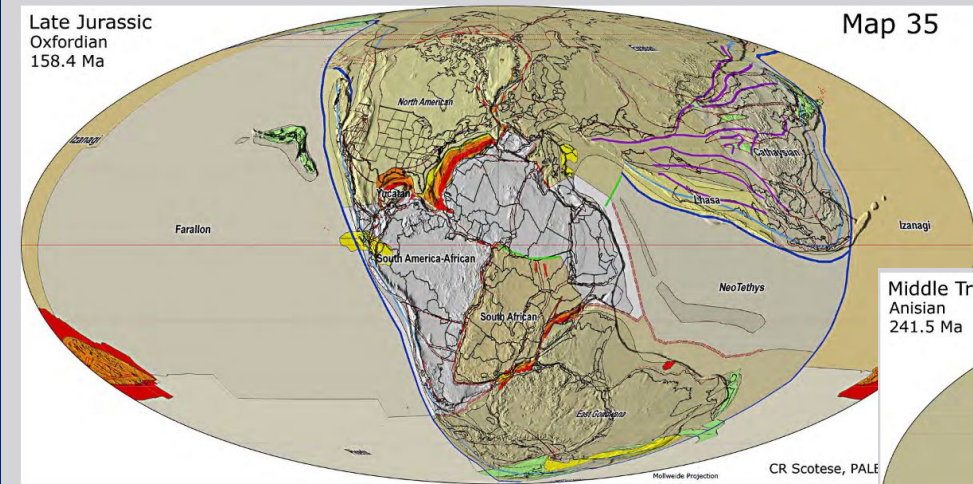
Mappe paleogeografiche e  
movimento (ricostruito) delle  
placche nel tempo

Late Cretaceous  
Early Campanian  
80.3 Ma



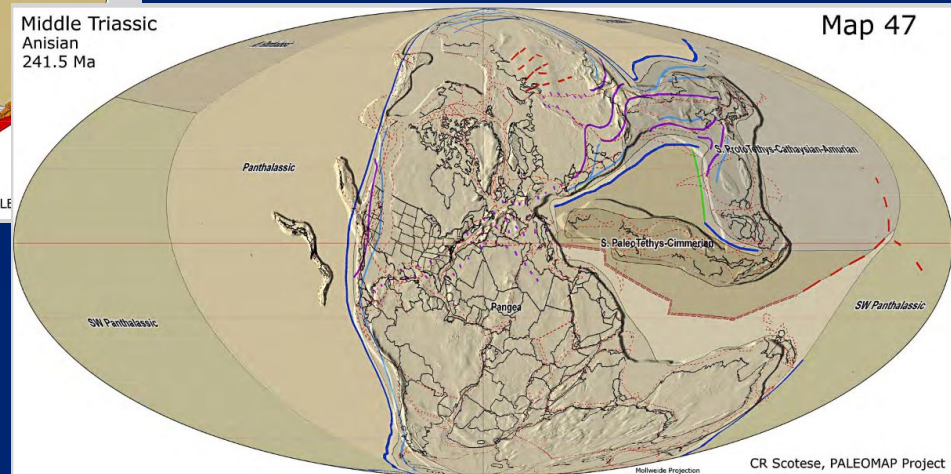
Map 19

Late Jurassic  
Oxfordian  
158.4 Ma



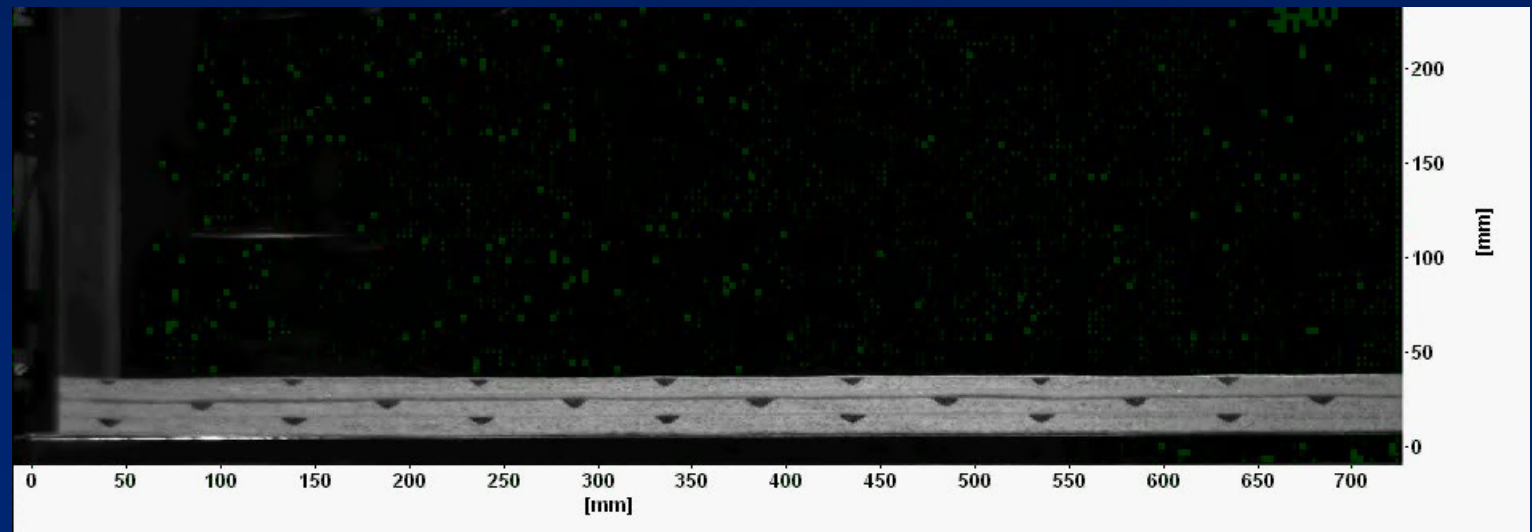
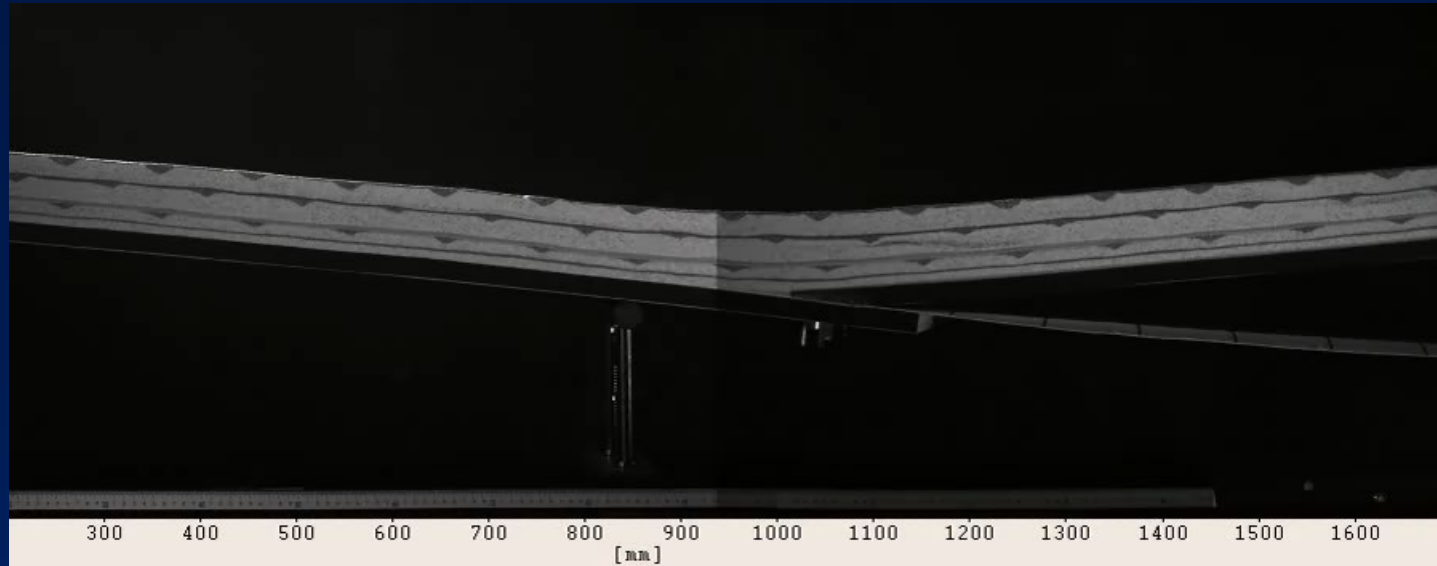
Map 35

Middle Triassic  
Anisian  
241.5 Ma

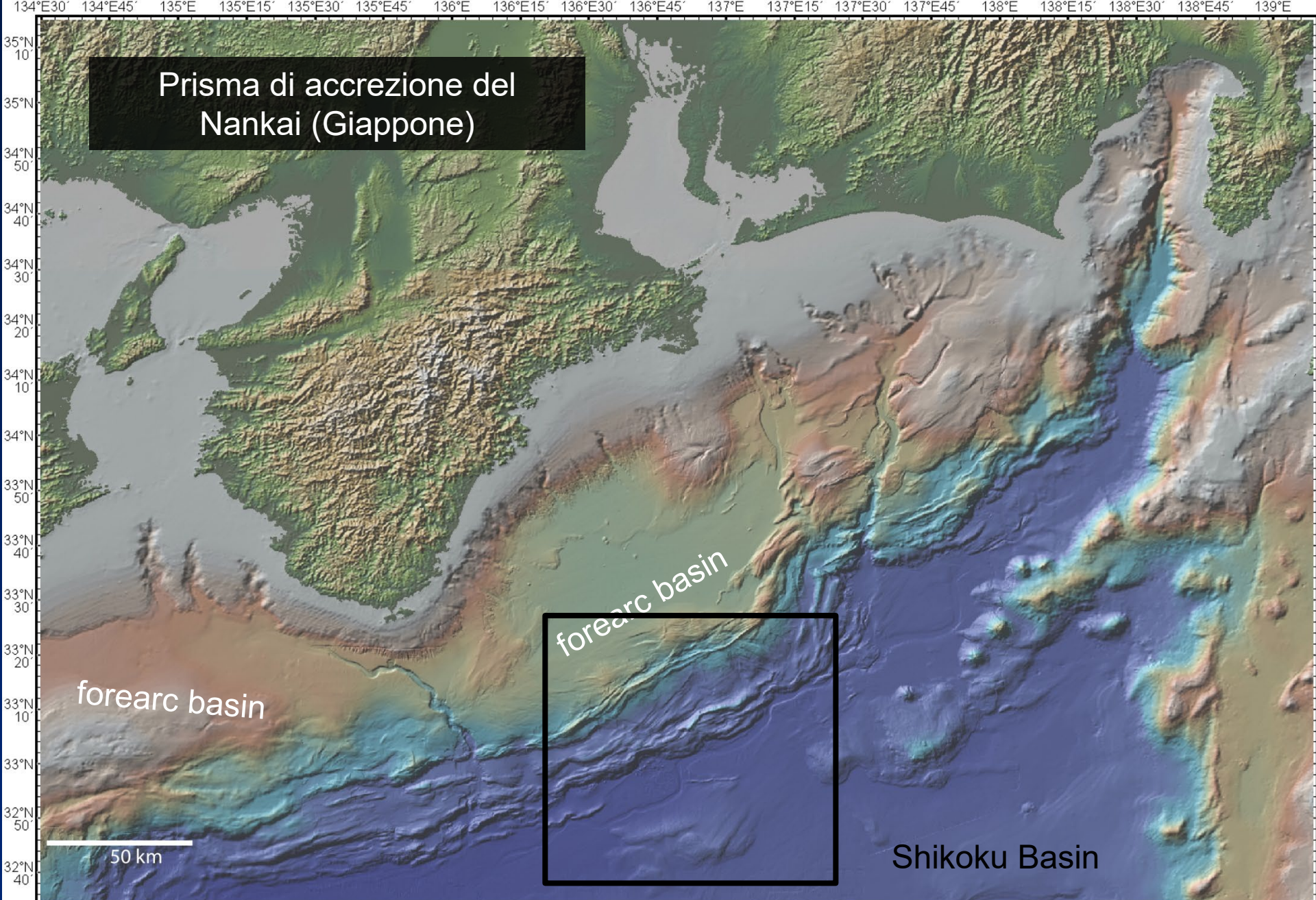


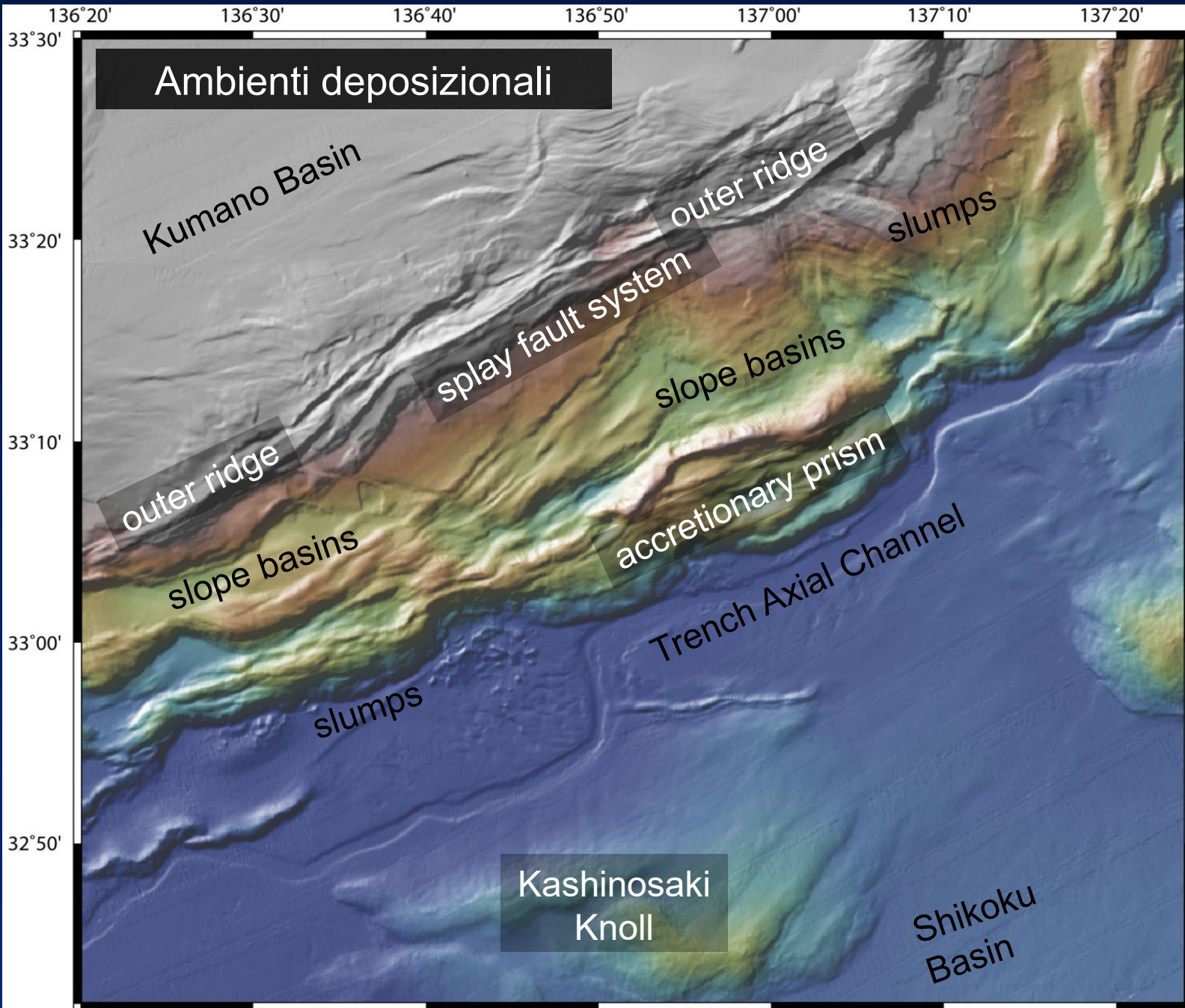
Map 47

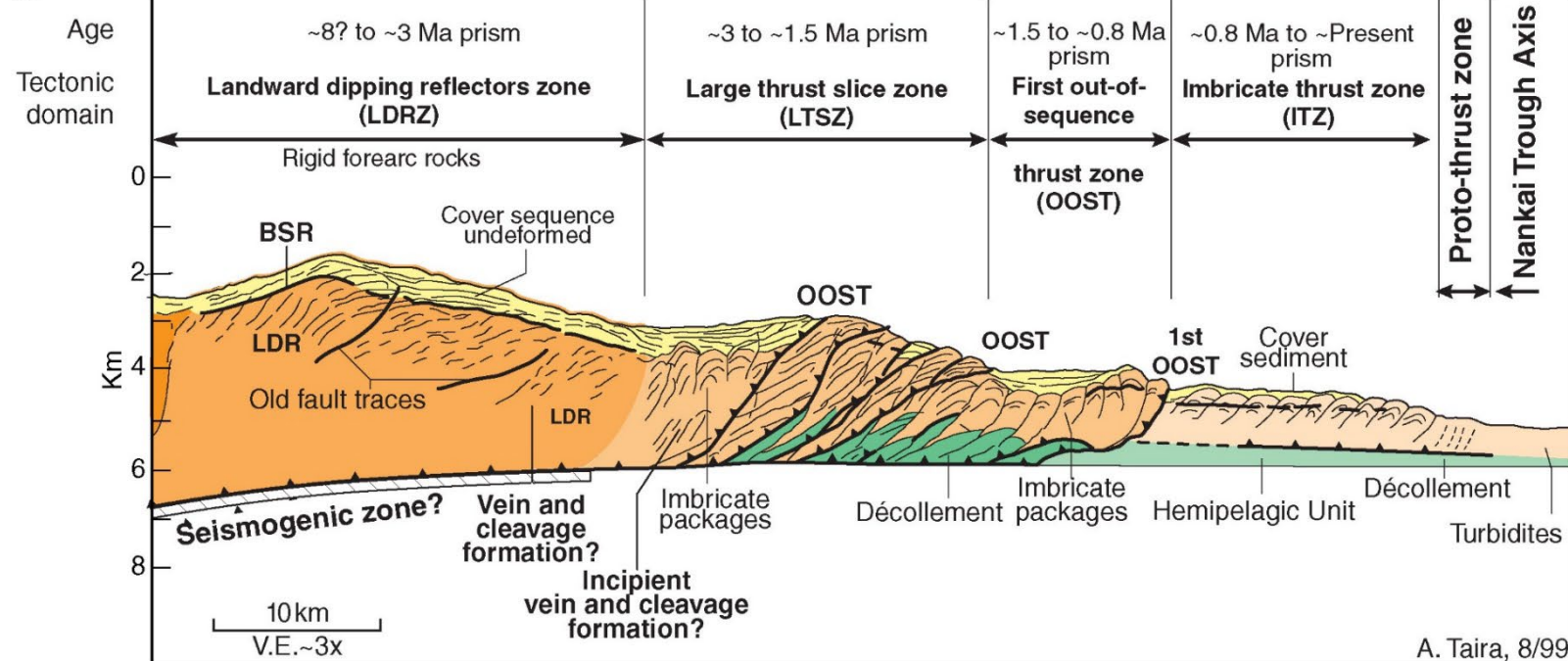
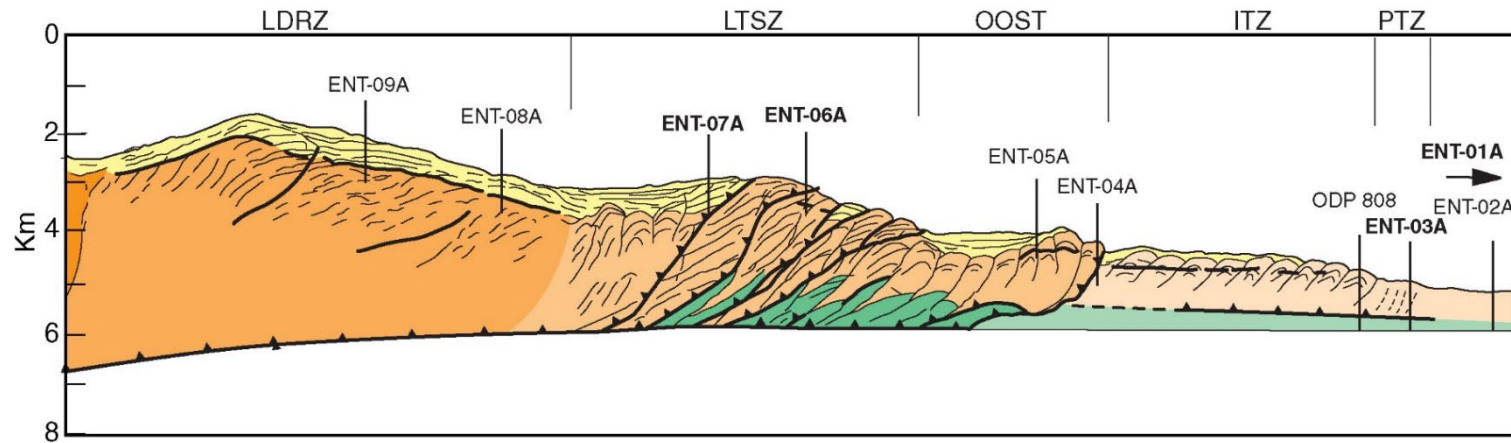
CR Scotese, PALEOMAP Project



Prisma di accrezione del  
Nankai (Giappone)

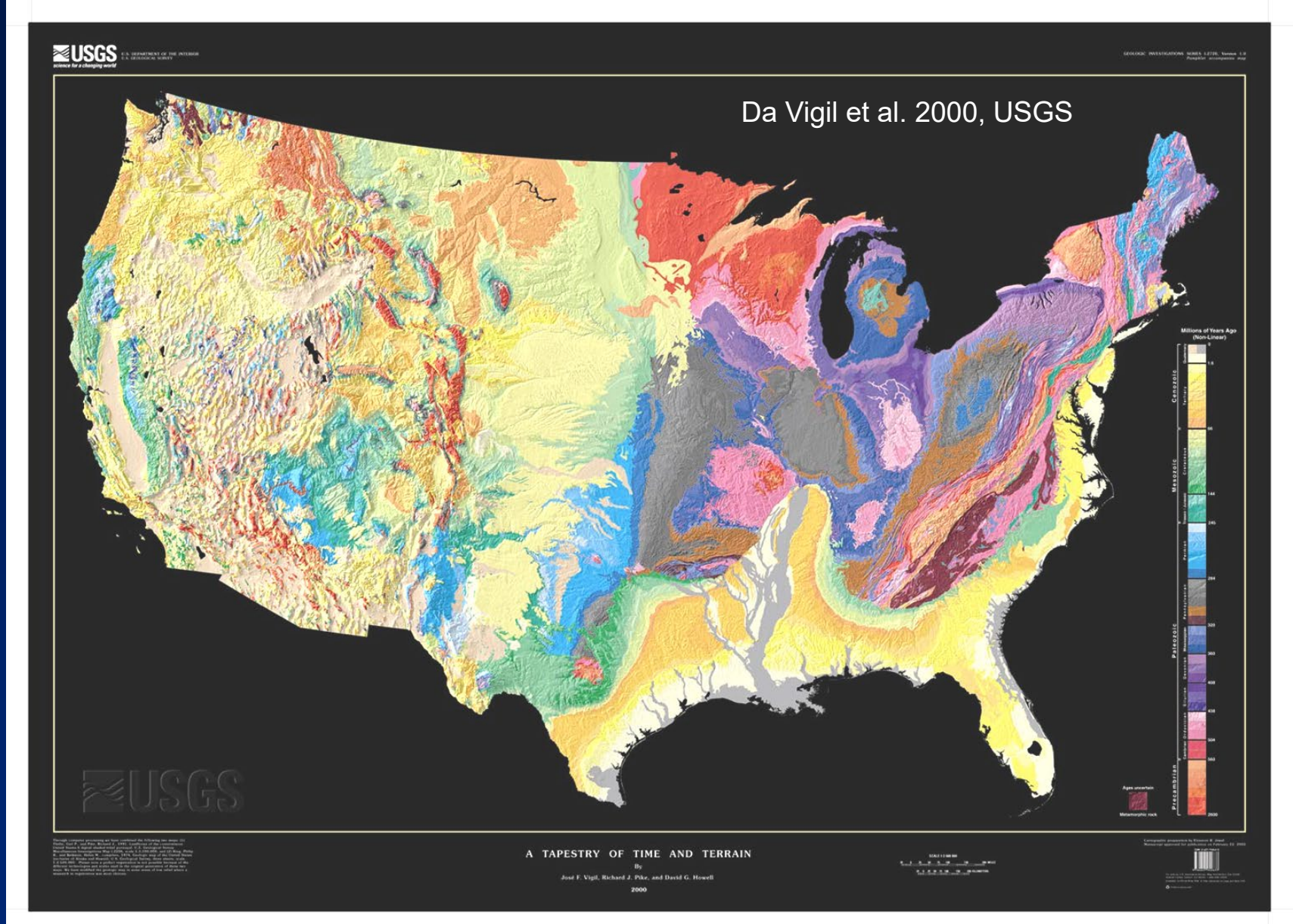




**A****B****Figure 3**

ODP Scientific Prospectus Leg 190, interpretazione dei profili sismici

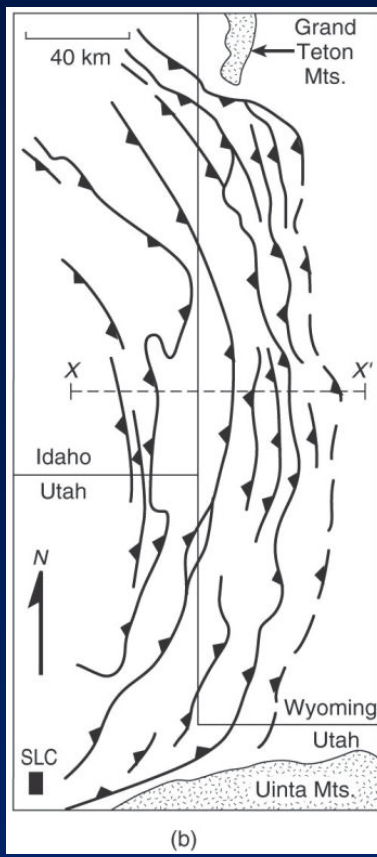
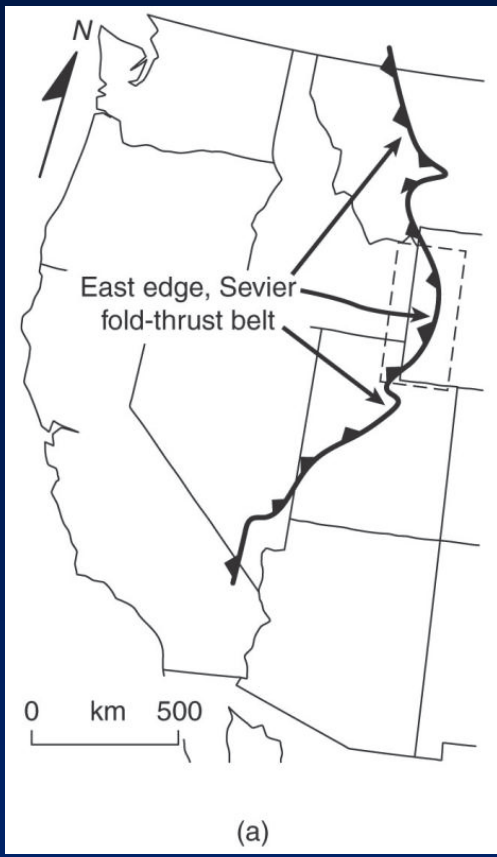
# Sistemi convergenti: diversi sistemi di catene collisionali



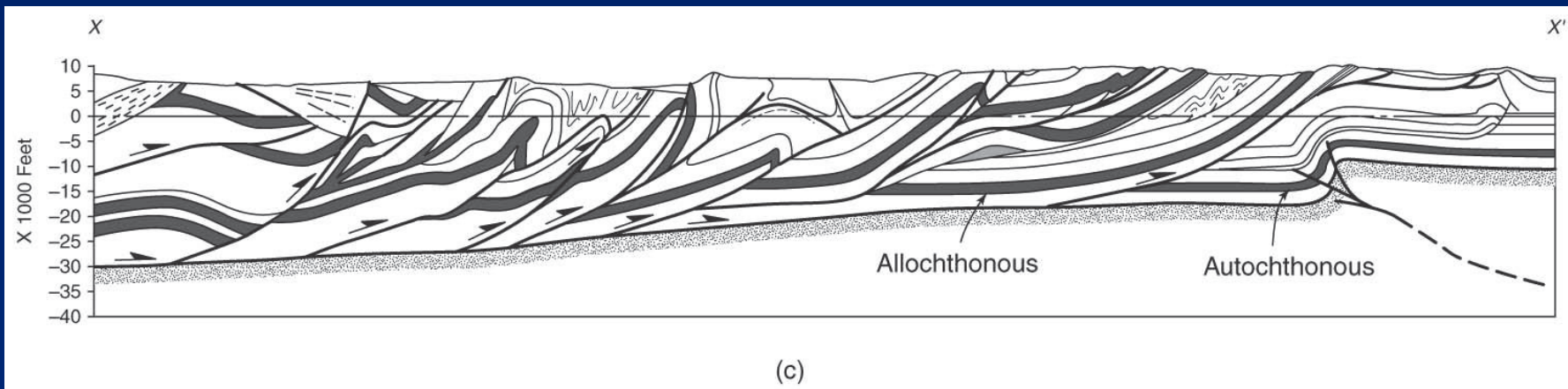
Intero continente, migliaia di chilometri, più catene montuose.

# Associazioni di sovrascorimenti-accavallamenti: Le Rocky Mountains

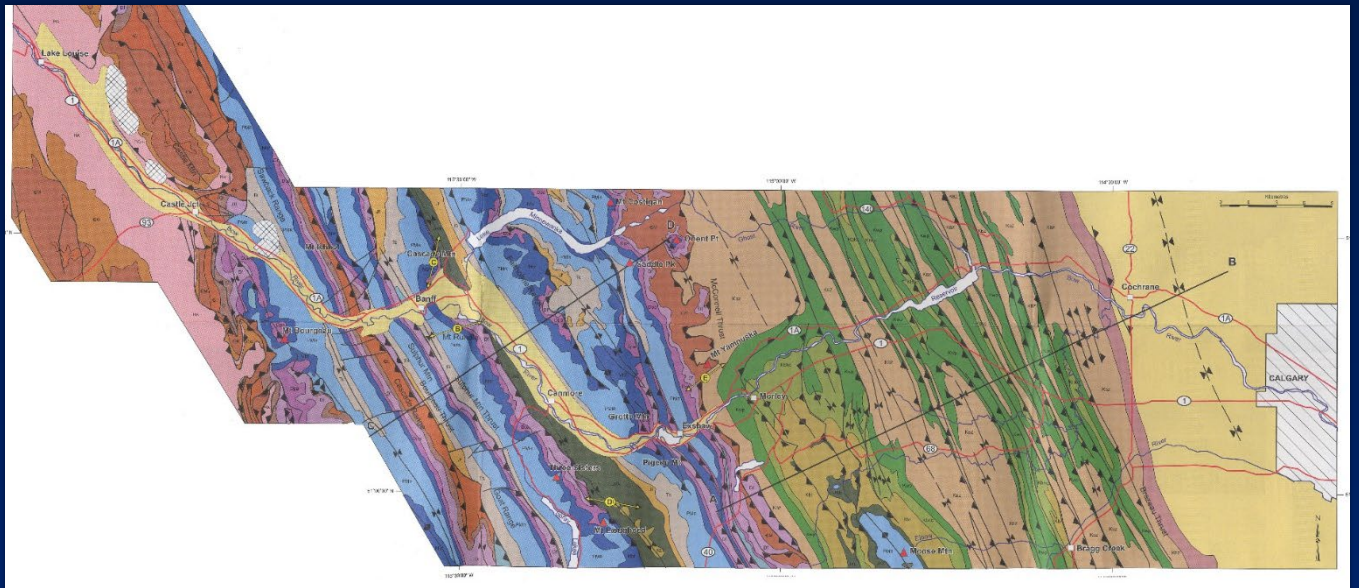




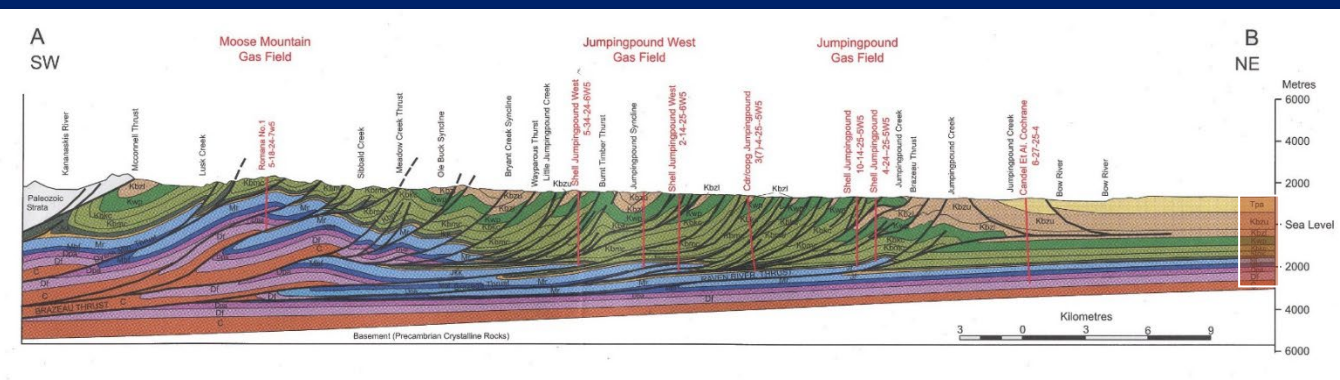
Ben van der Pluijm, 2004



Strutture tettoniche (accavallamenti-sovrascorimenti e pieghe) che deformano un successione stratigrafica (il mattone)



Da Price, 2000; Ollerenshaw, 1978

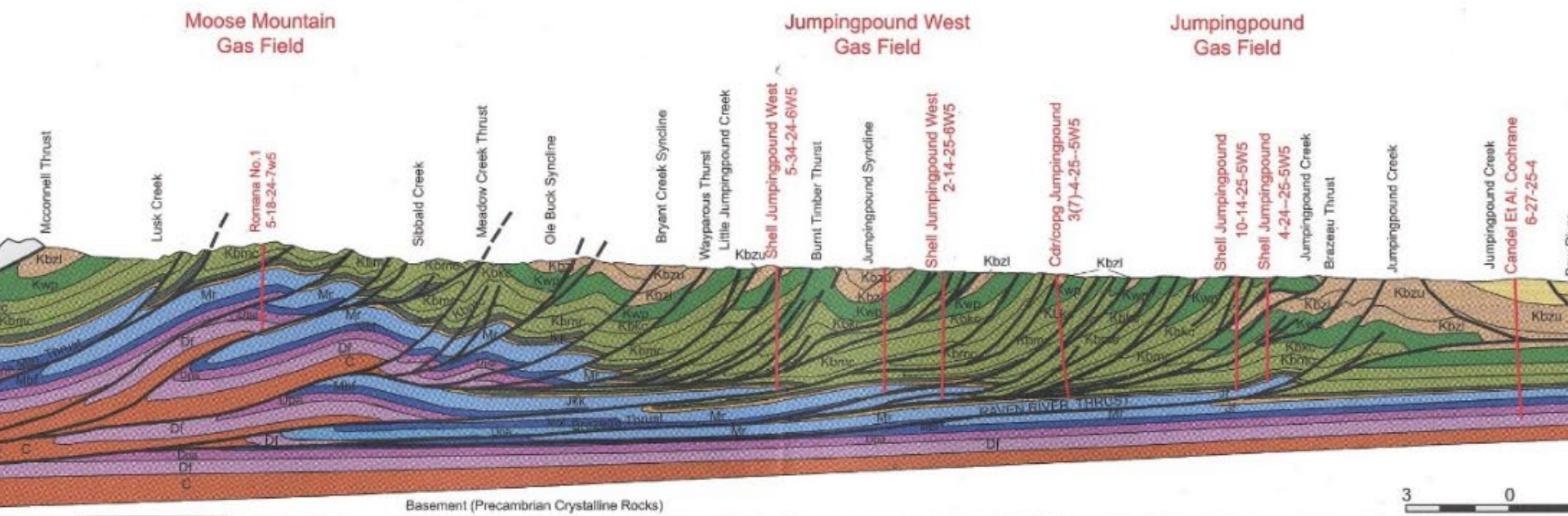


Da Price, 2000; Ollerenshaw, 1978

Successione non deformata Dal Cambriano al Terziario!!!



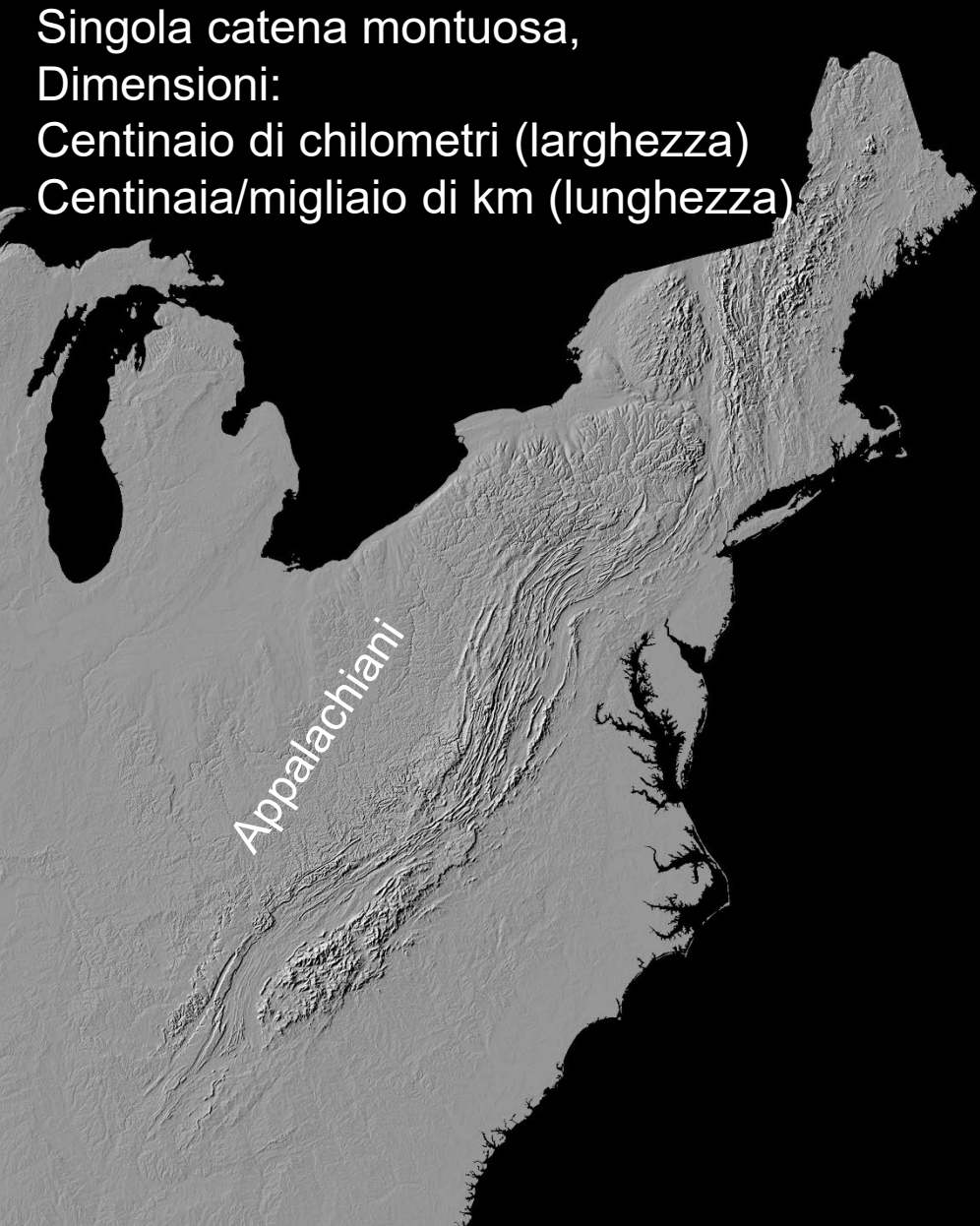
Landslides



# Appalachiani (Appalachians Mts.)



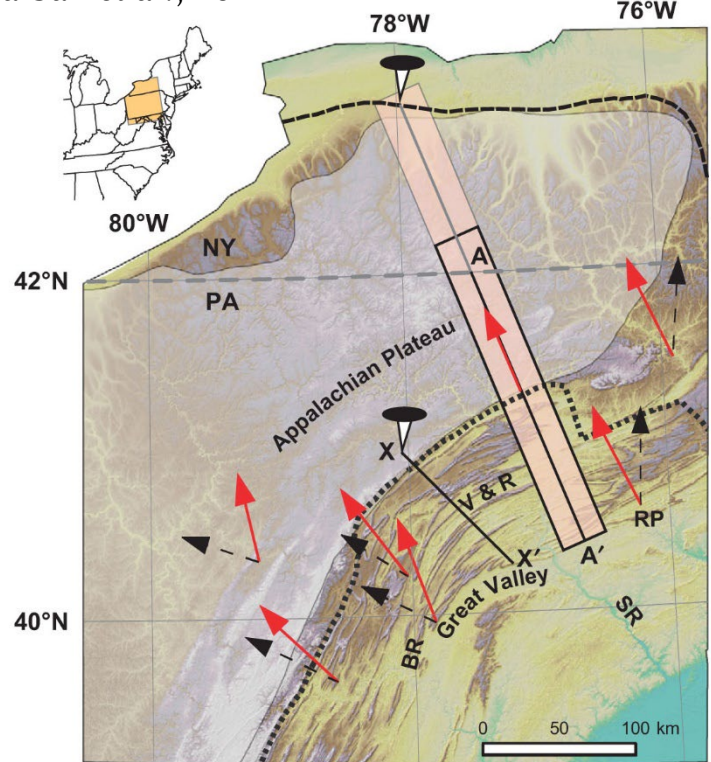
Da mosaico foto satellitari NOAA  
(fonte USGS)



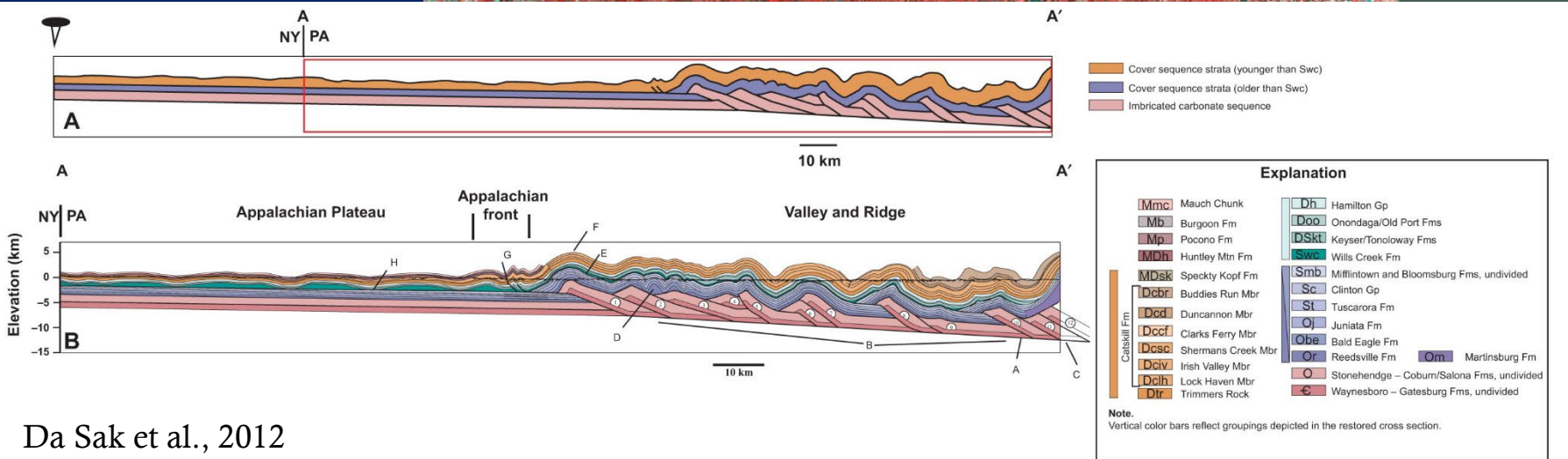
Singola catena montuosa,  
Dimensioni:  
Centinaio di chilometri (larghezza)  
Centinaia/migliaio di km (lunghezza)

Shaded relief da DEM, Theling & Pike, 1991,  
Miscellaneous Investigations Series Map I-2206USGS

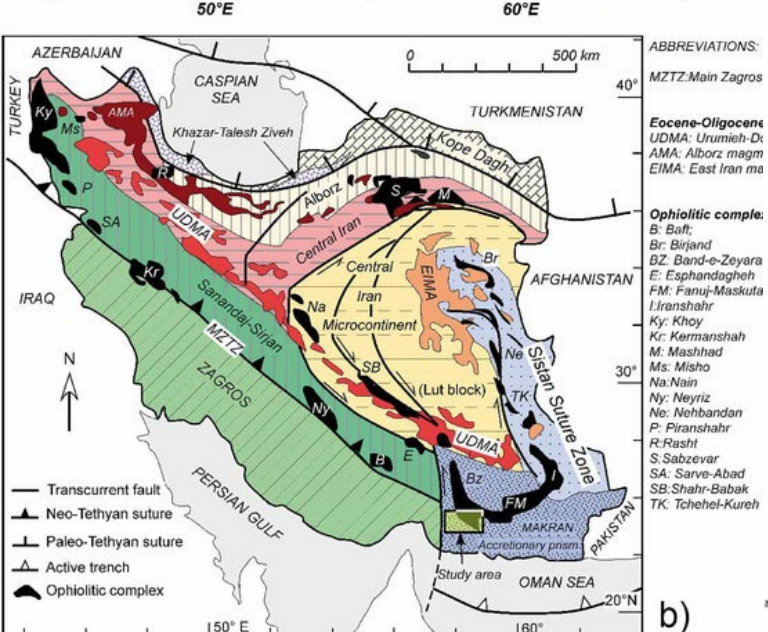
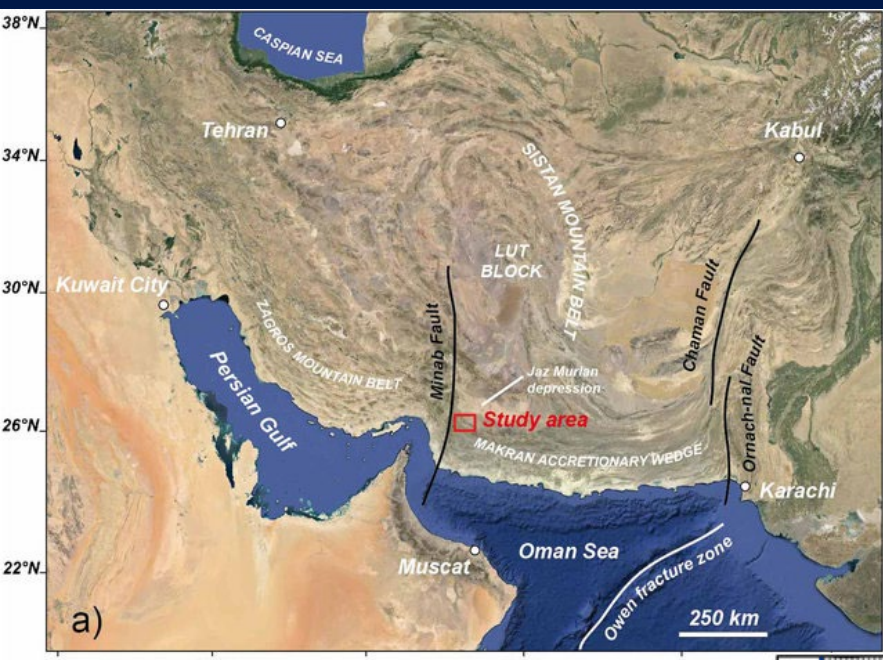
Da Sak et al., 2012



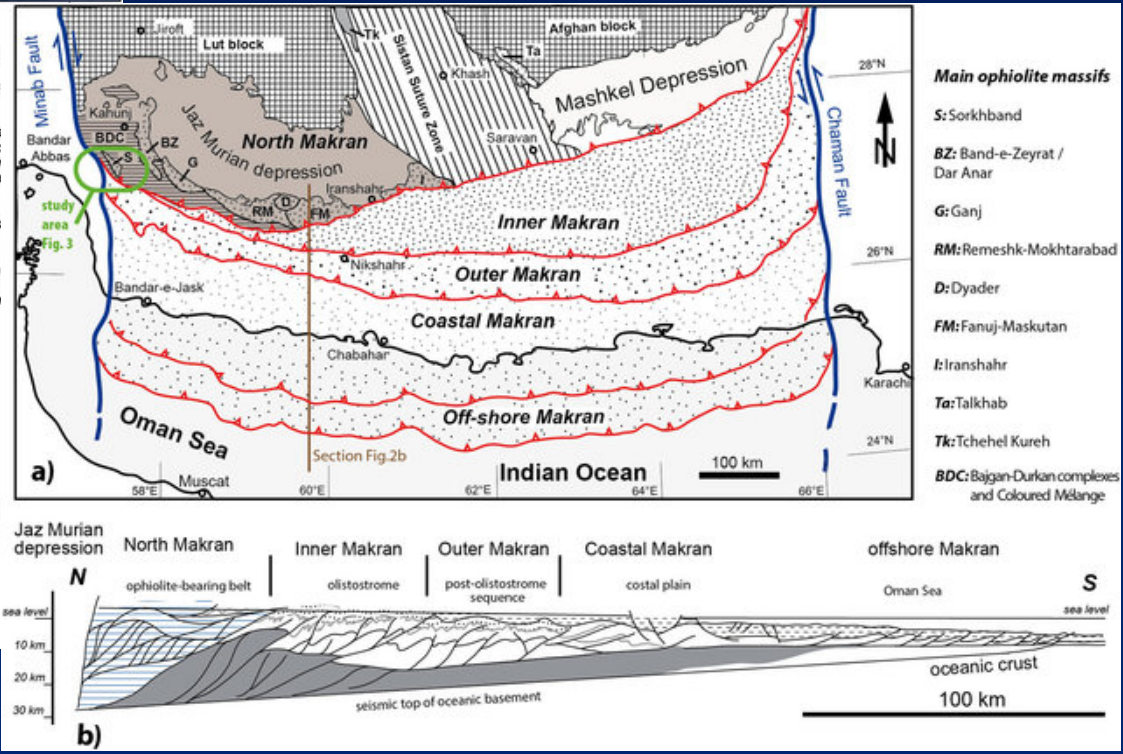
## Pieghe, duplex e sovrascorimenti: Appalachians



Da Sak et al., 2012

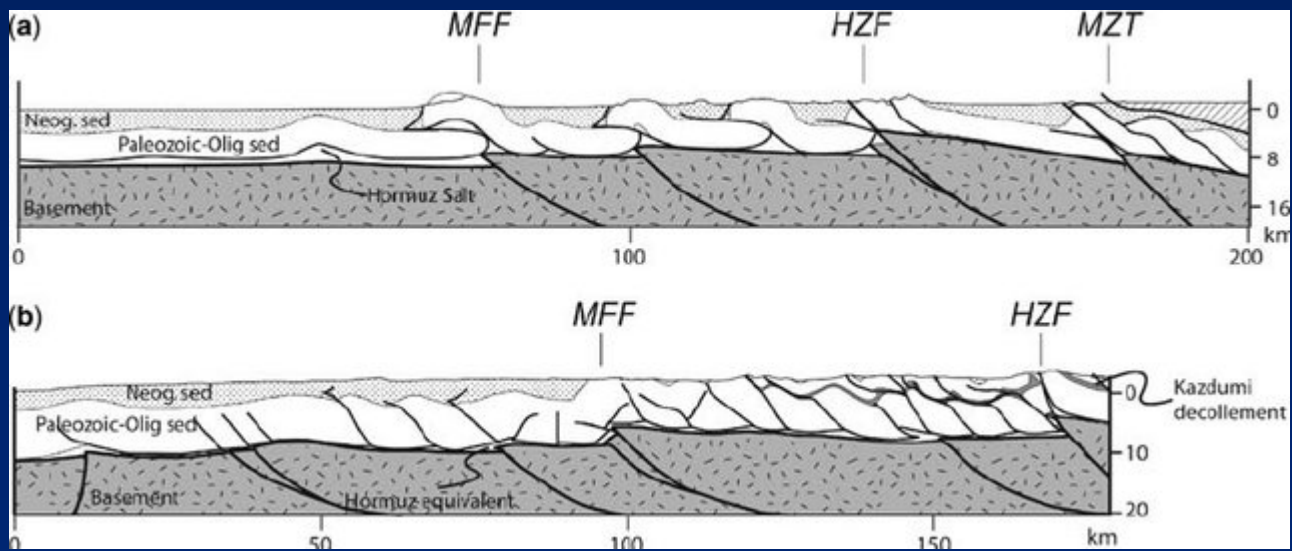


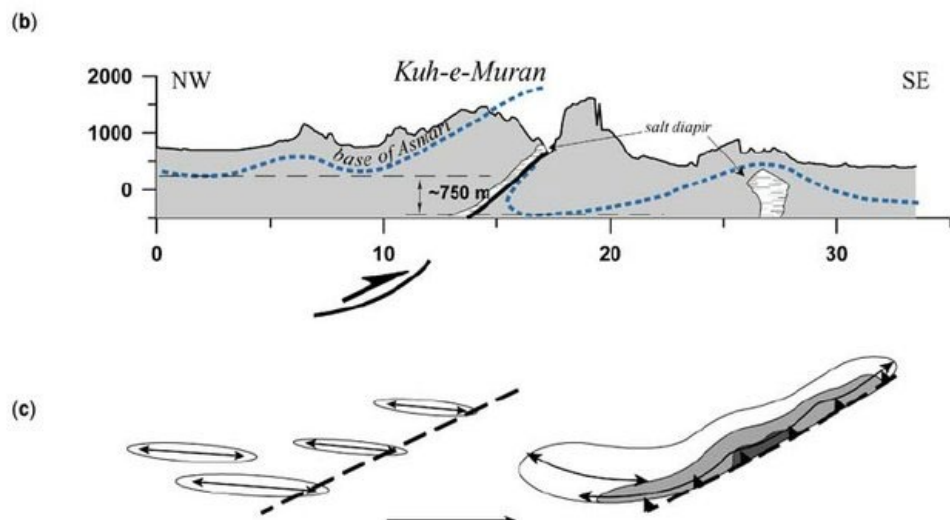
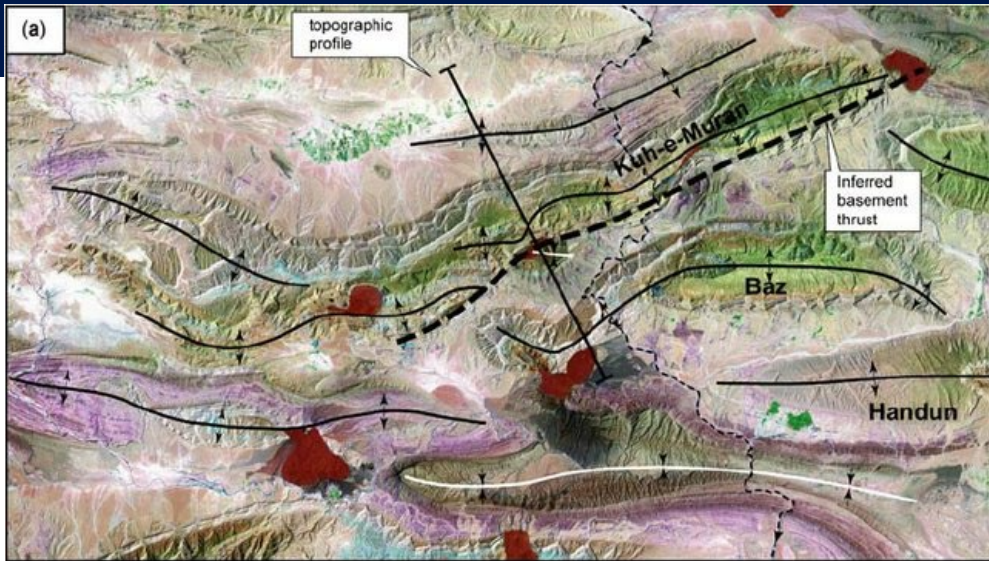
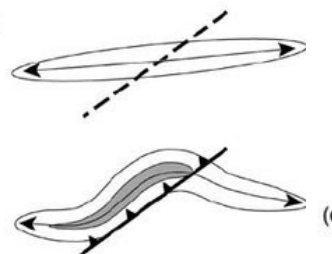
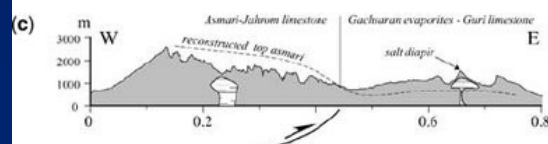
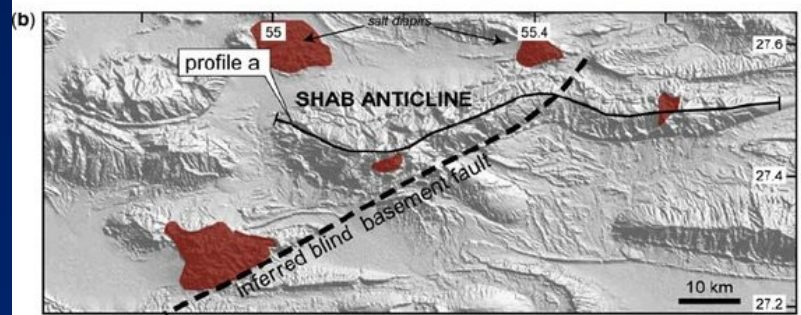
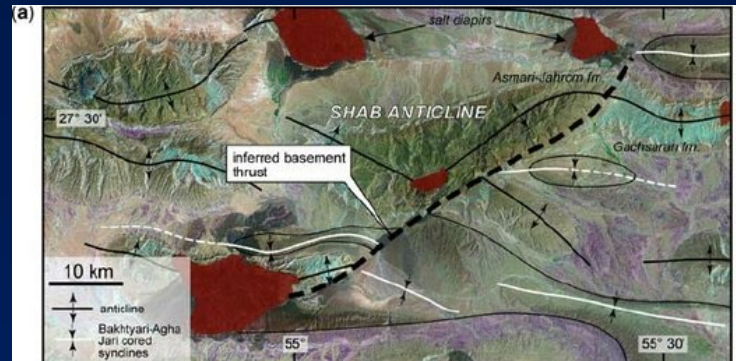
## Sistemi di accavallamenti e pieghe: il Makran

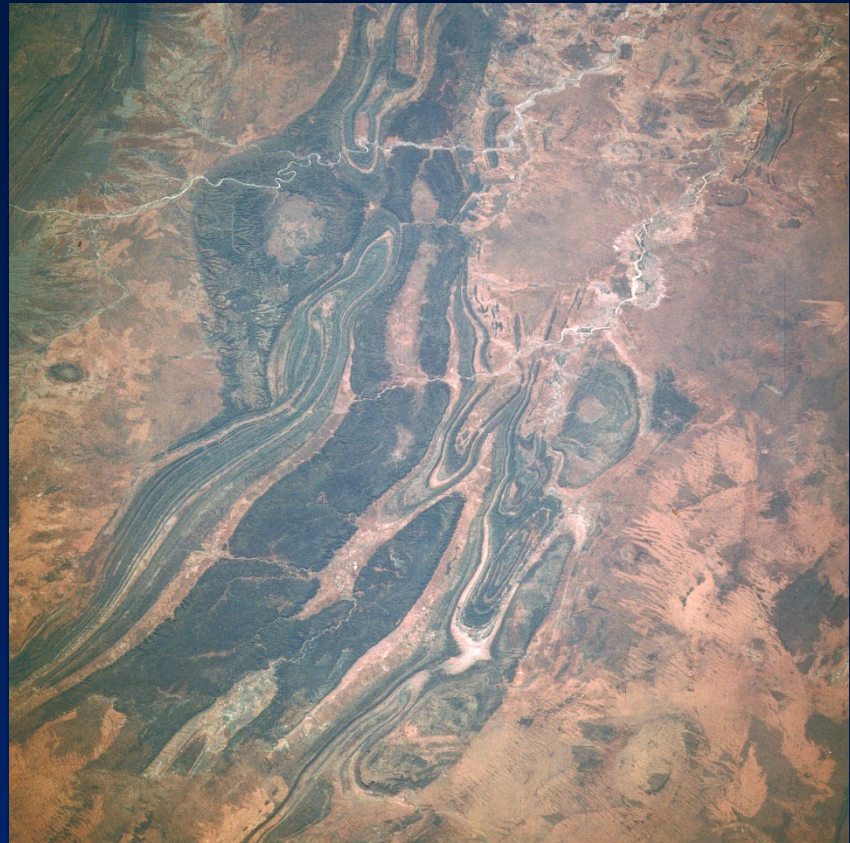




Sistemi di pieghe scala ragionale  
associate a scollamento basale e  
accavallamenti: i Zagros





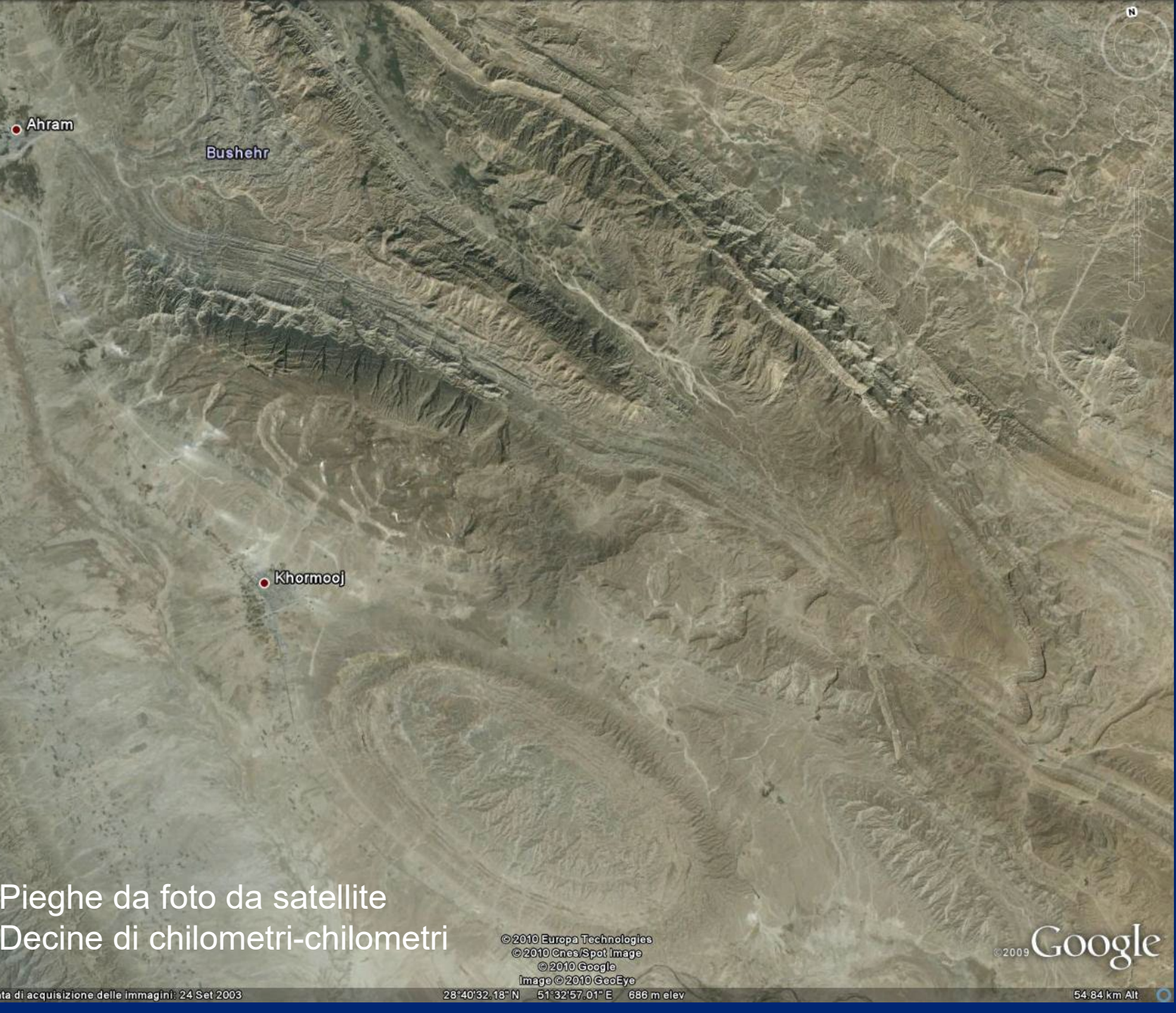


James Mountains, Australia - NASA Photo ID  
PSTS61B-44-6,  
<https://eol.jsc.nasa.gov/SearchPhotos/>



Zagros Folded Belt, Fars, Iran - Da Google Earth

Pieghe da foto da satellite  
Decine di chilometri



Pieghe da foto da satellite  
Decine di chilometri-chilometri

©2010 Europa Technologies  
©2010 Cnes/Spot Image  
©2010 Google  
Image ©2010 GeoEye

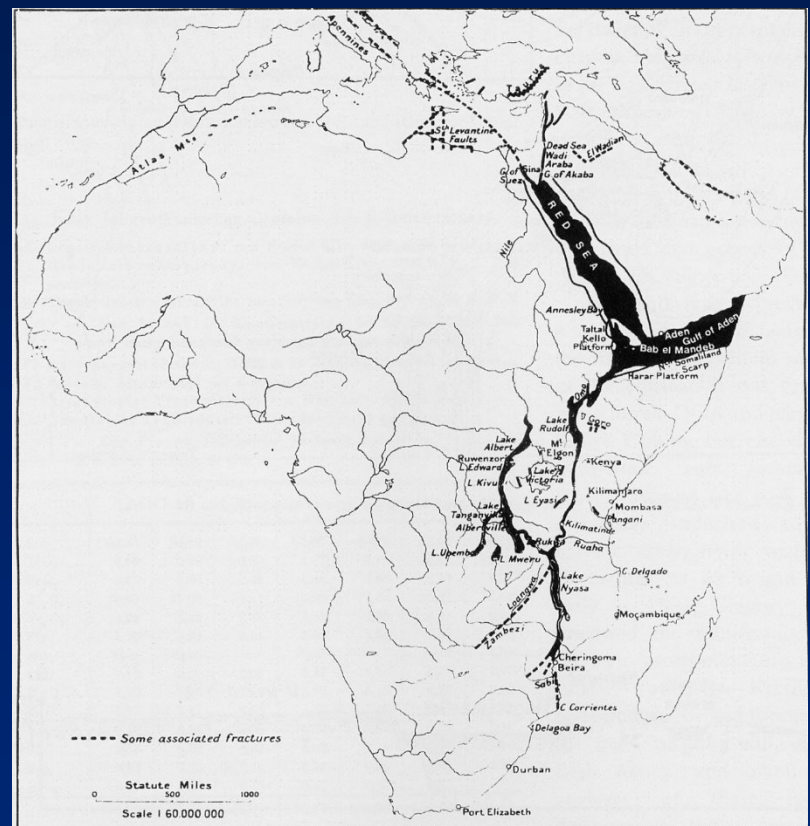
Data di acquisizione delle immagini: 24 Set 2003

28°40'32.18"N 51°32'57.01"E 686 m elev

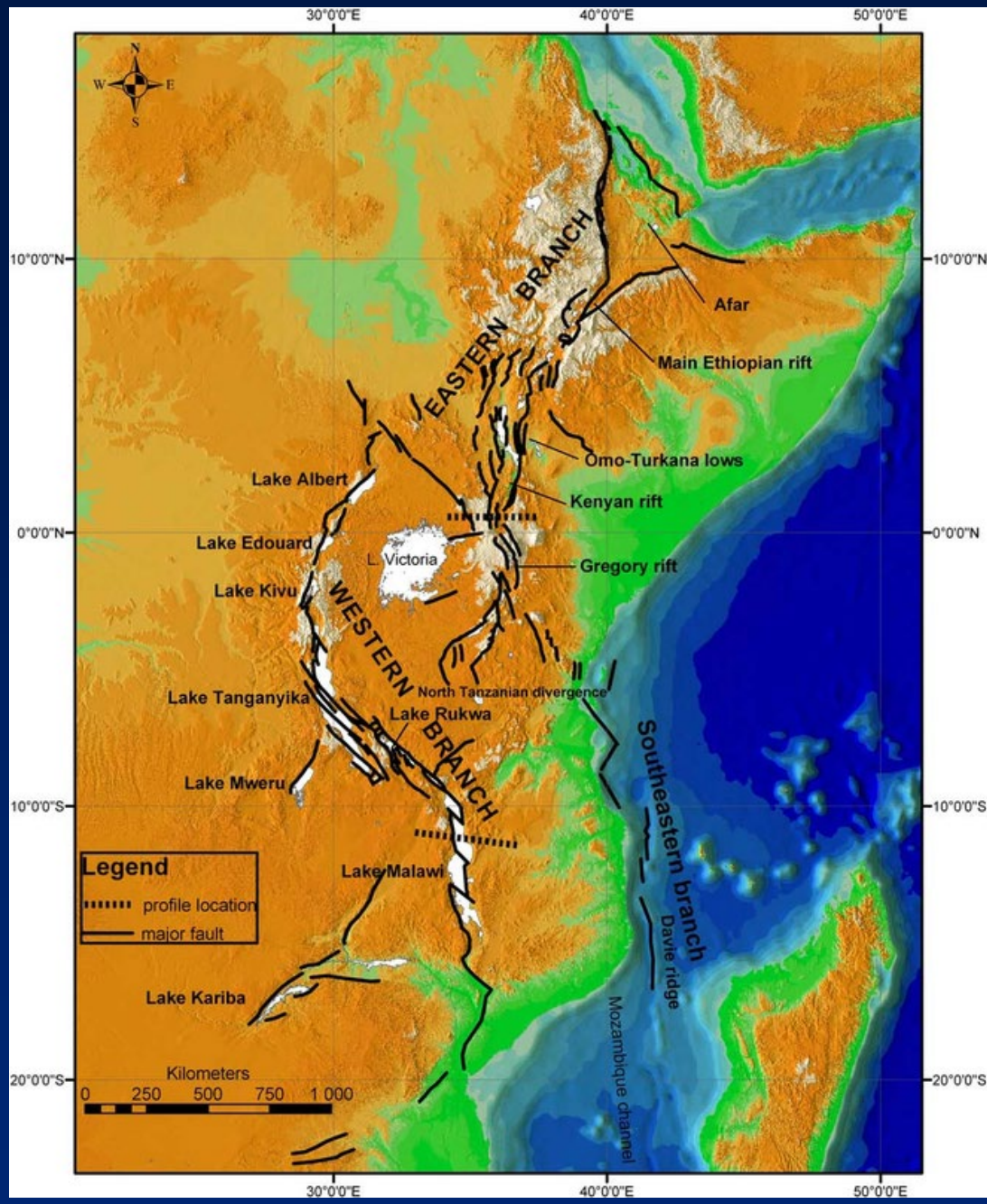
©2009 Google

54-84 km Alt

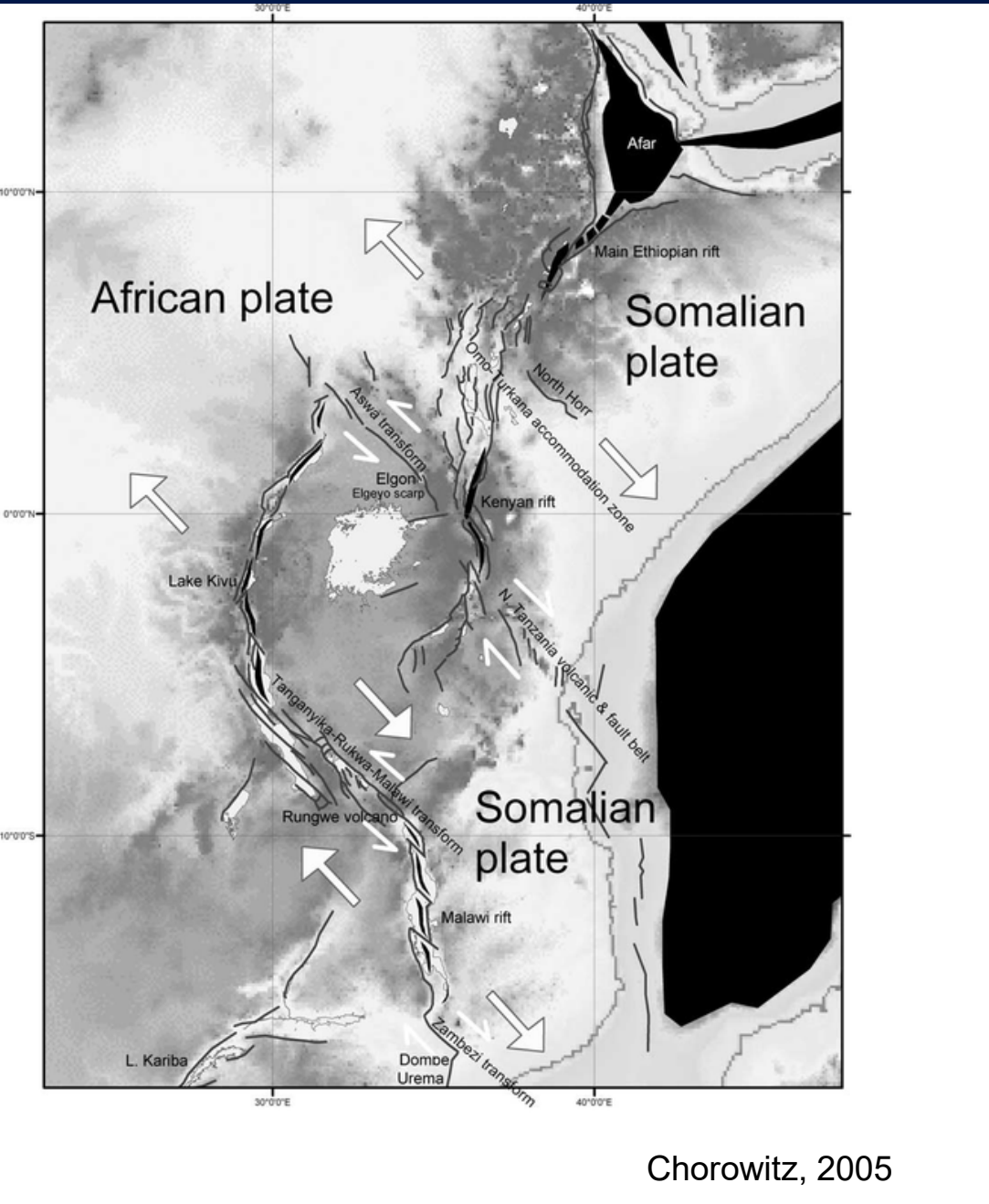
# Associazioni di sistemi divergenti: faglie normali, «graben», lacerazione e rottura definitiva della crosta continentale (e oceànica)



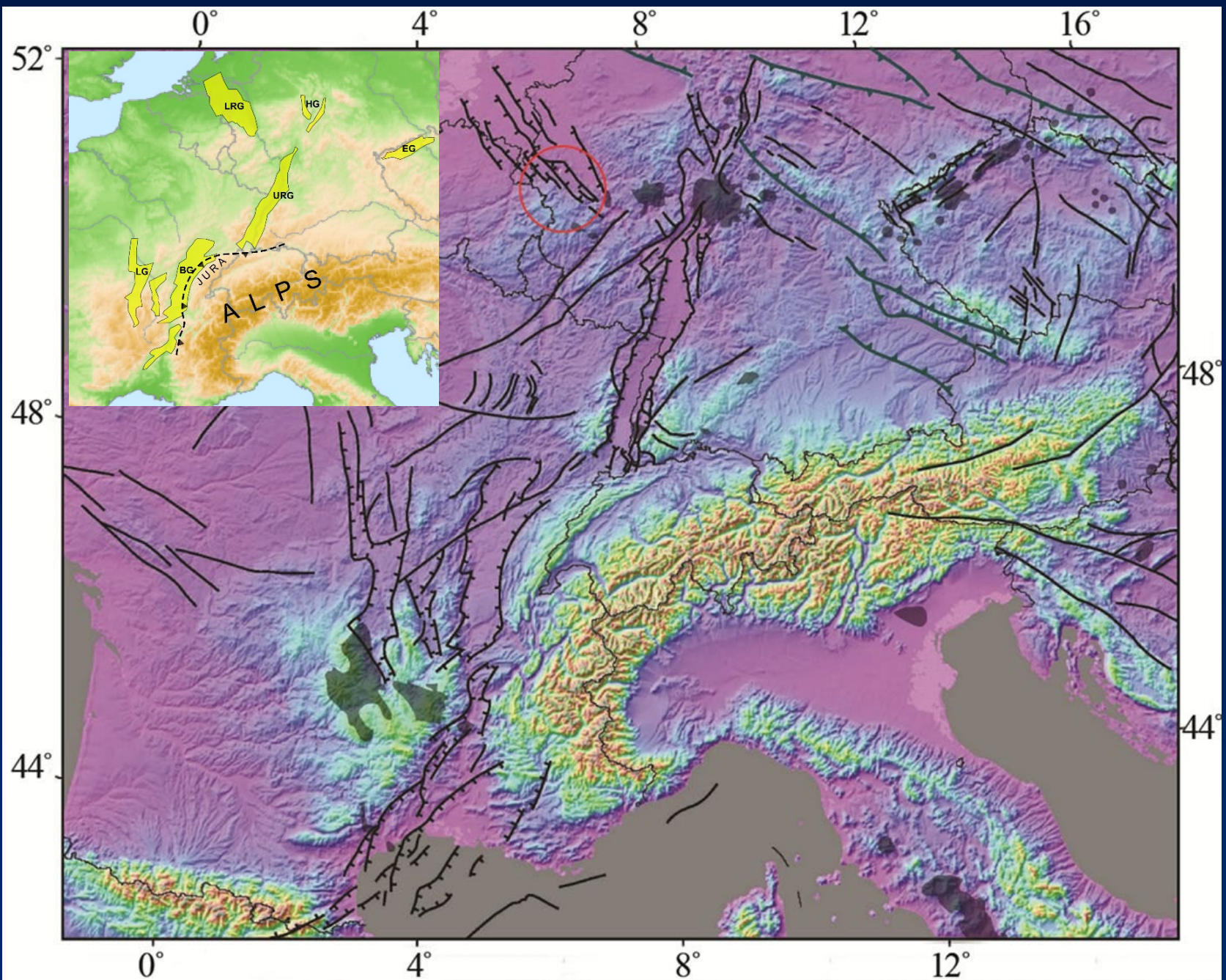
J. Gregory's 1920 map of the East African rift v.

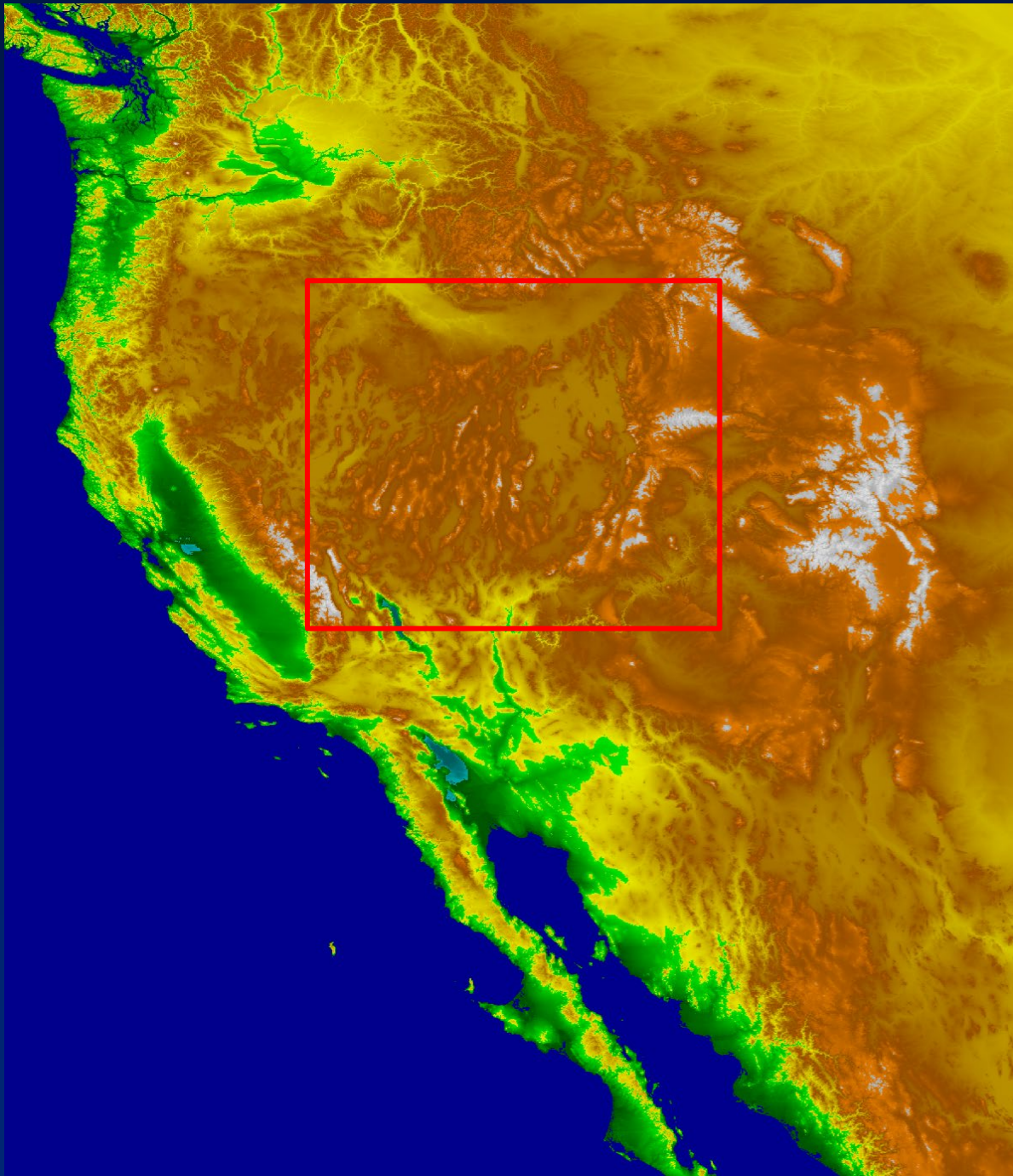


Chorowitz, 2005

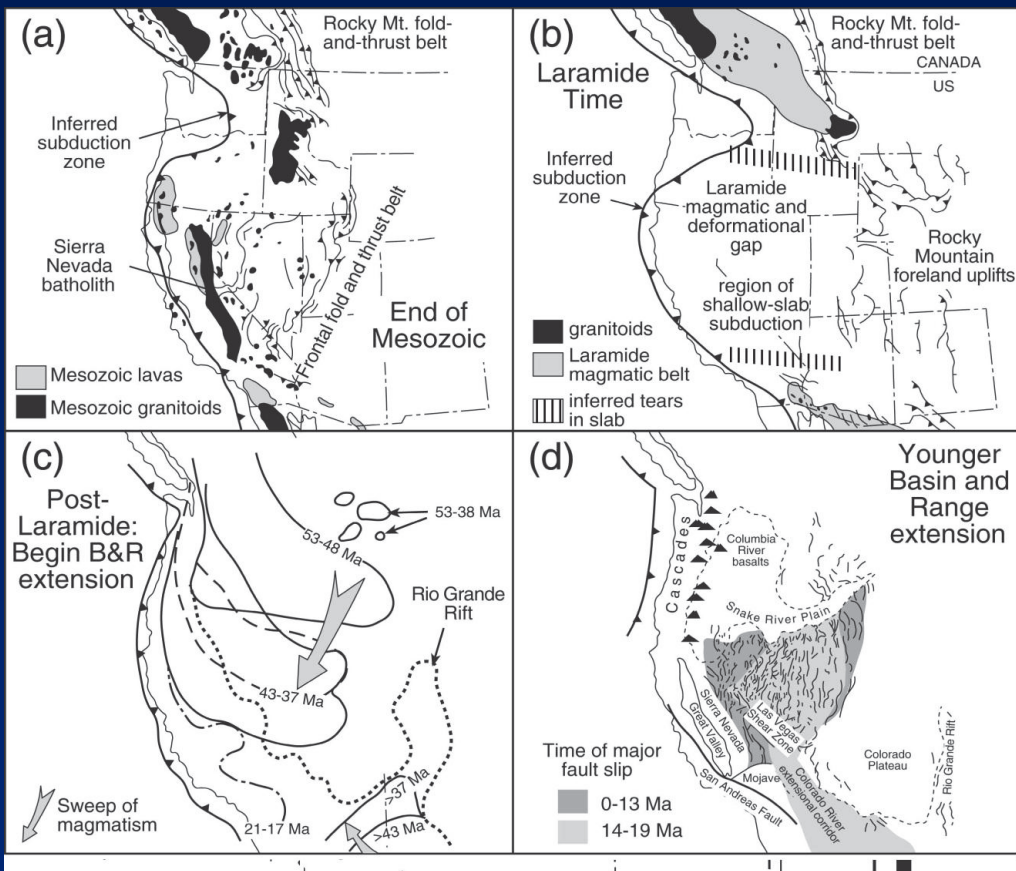
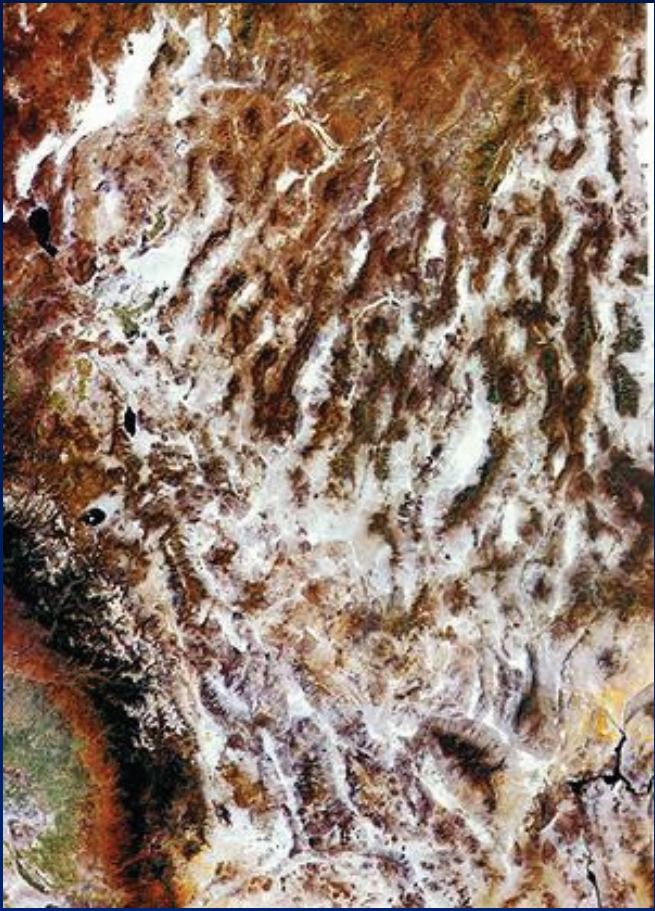


Chorowitz, 2005

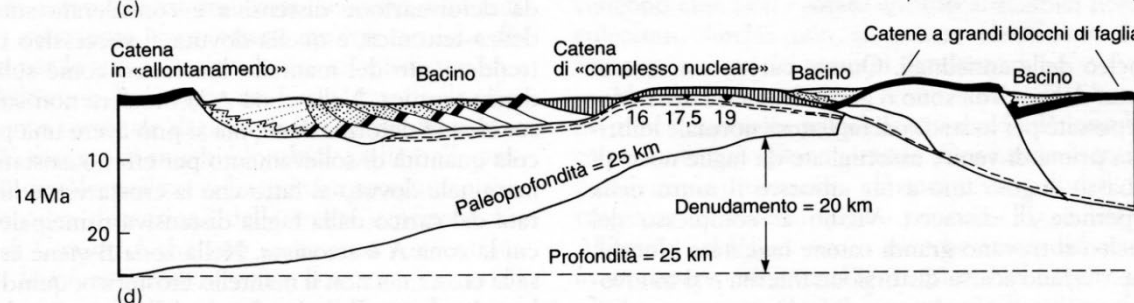
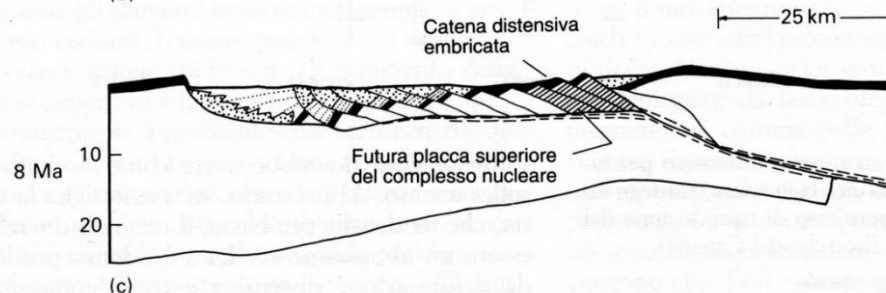
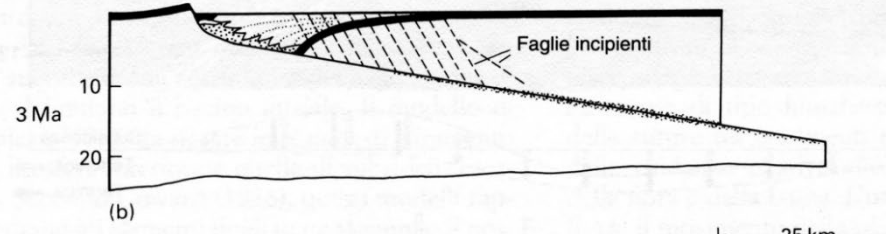




Associazioni da estensione  
crostale: il Basin and Range



Tempo a 5 mm a<sup>-1</sup>



Riferimento pre-orogenico



Depositi clastici orogenici: fini-lacustri grossolani



Rocce molto assottigliate e stirate



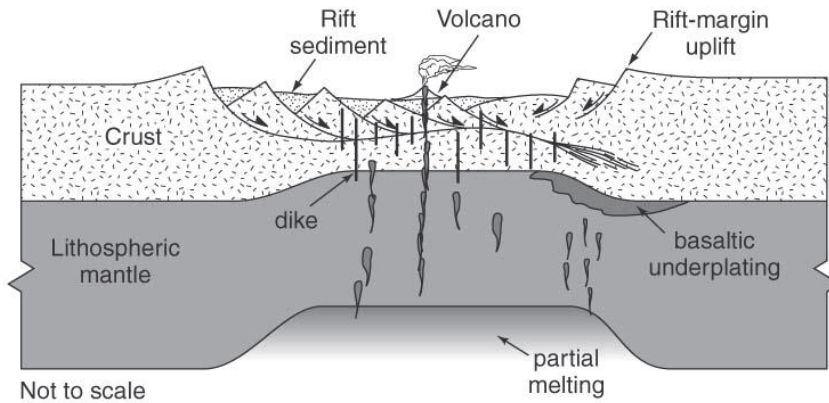
Zona di taglio duttile



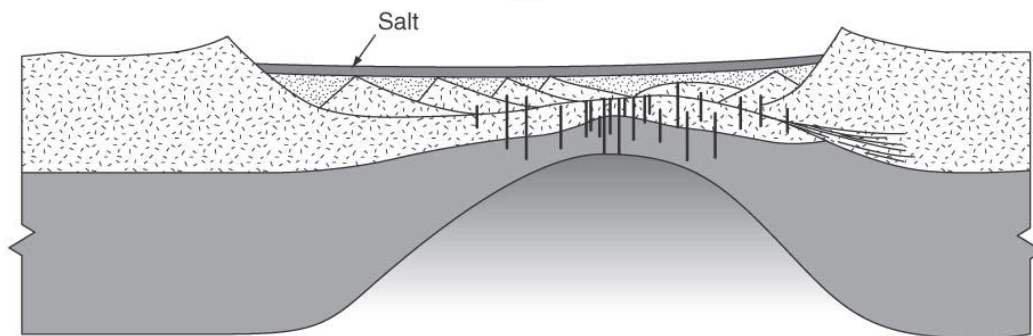
16,5 Paleopreprofondità della placca inferiore del «complesso nucleare»

Estensione totale = 72 km (100%)

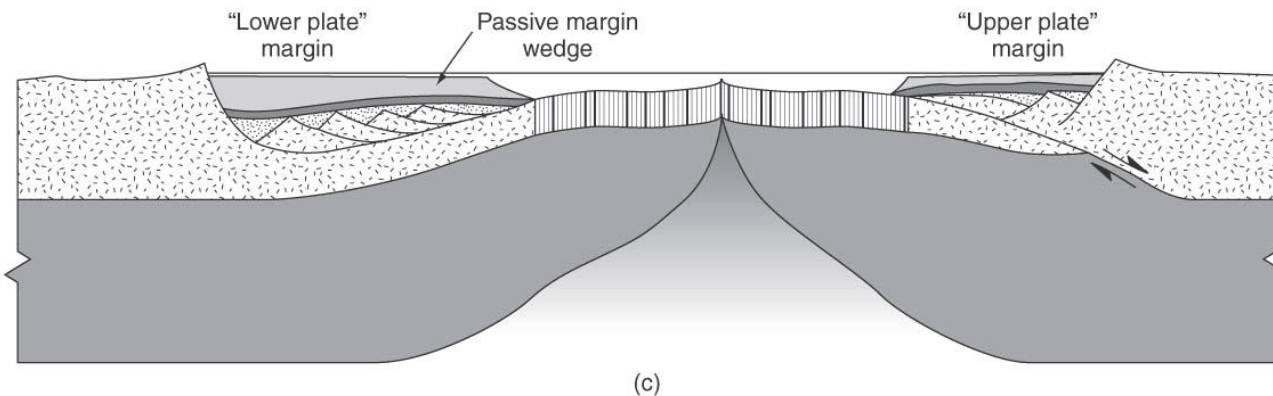
Da van der Pluijm &  
Marshak, 2004



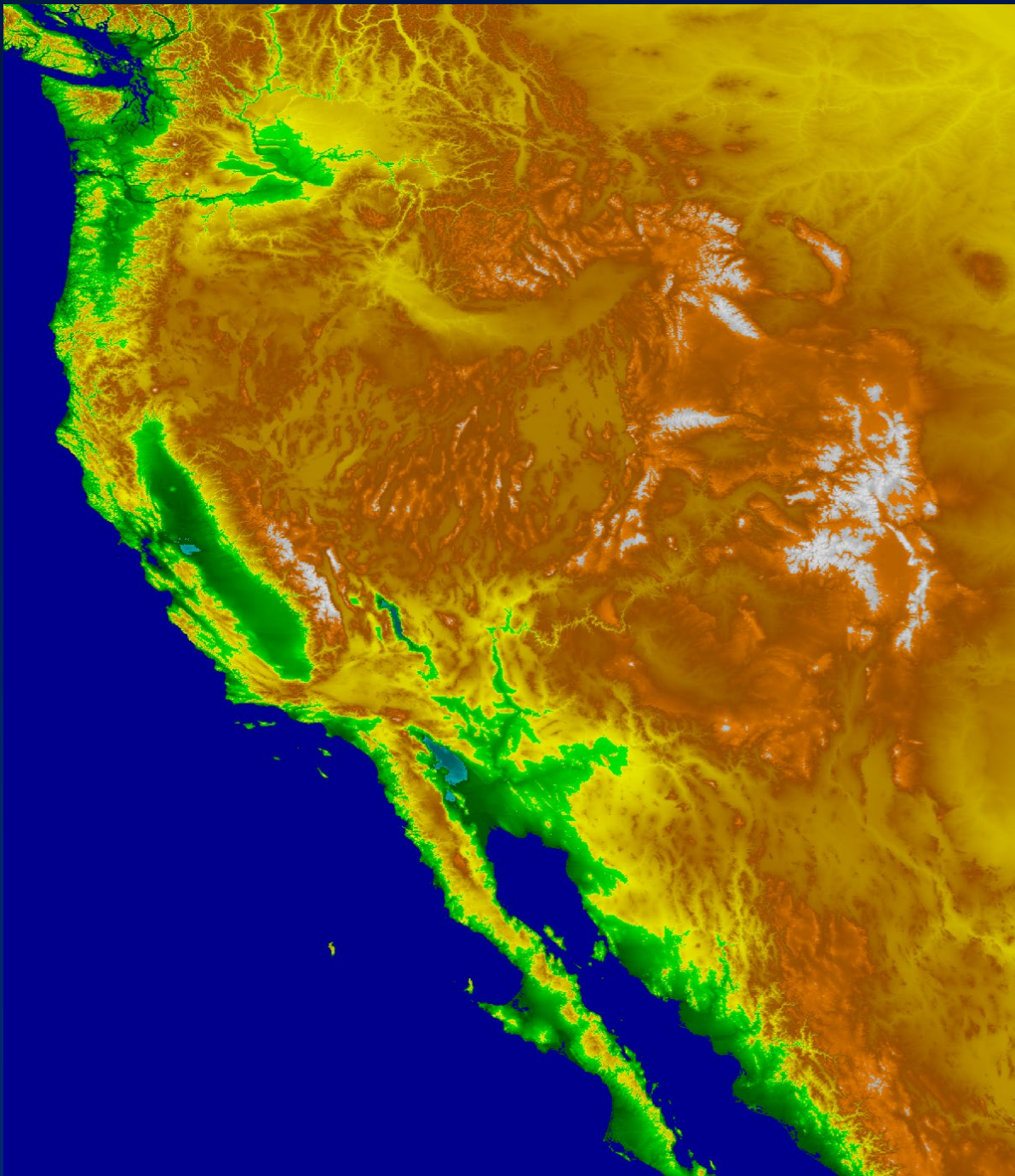
(a)



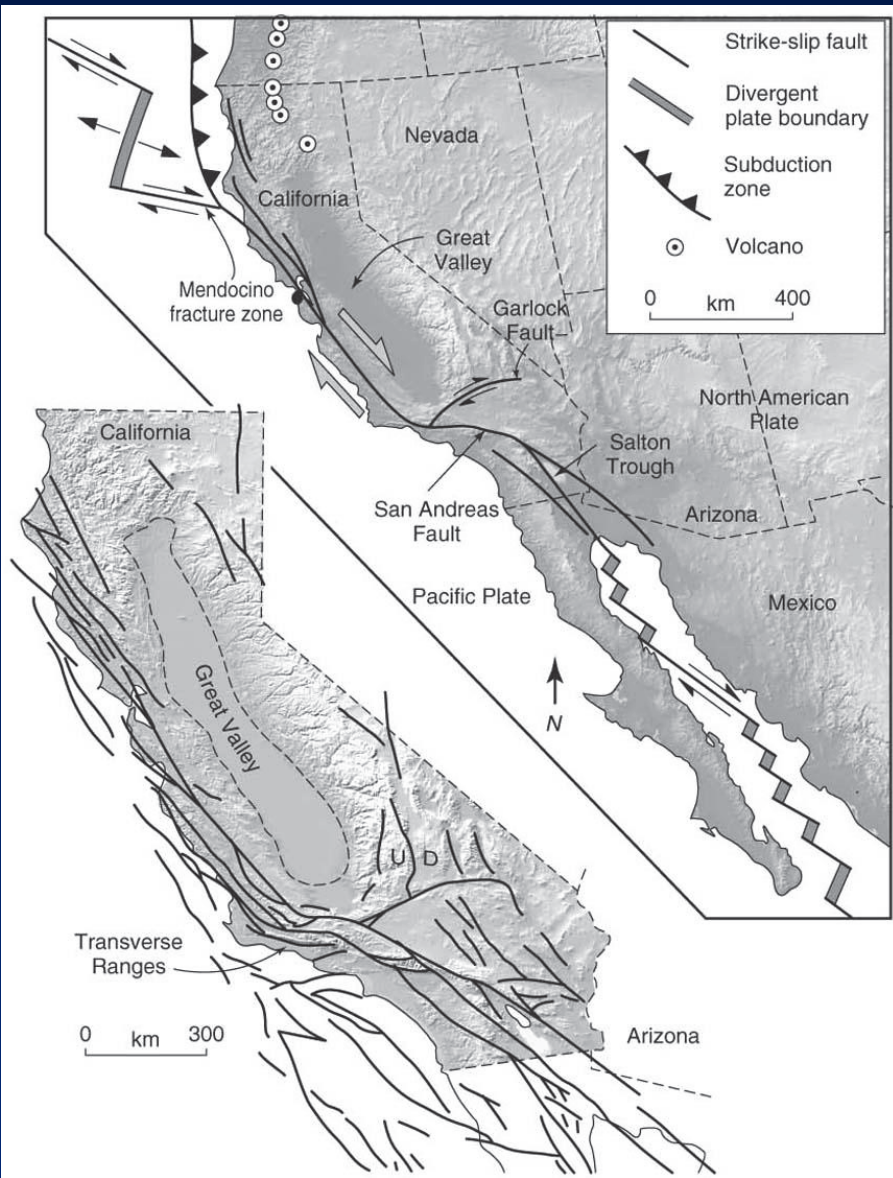
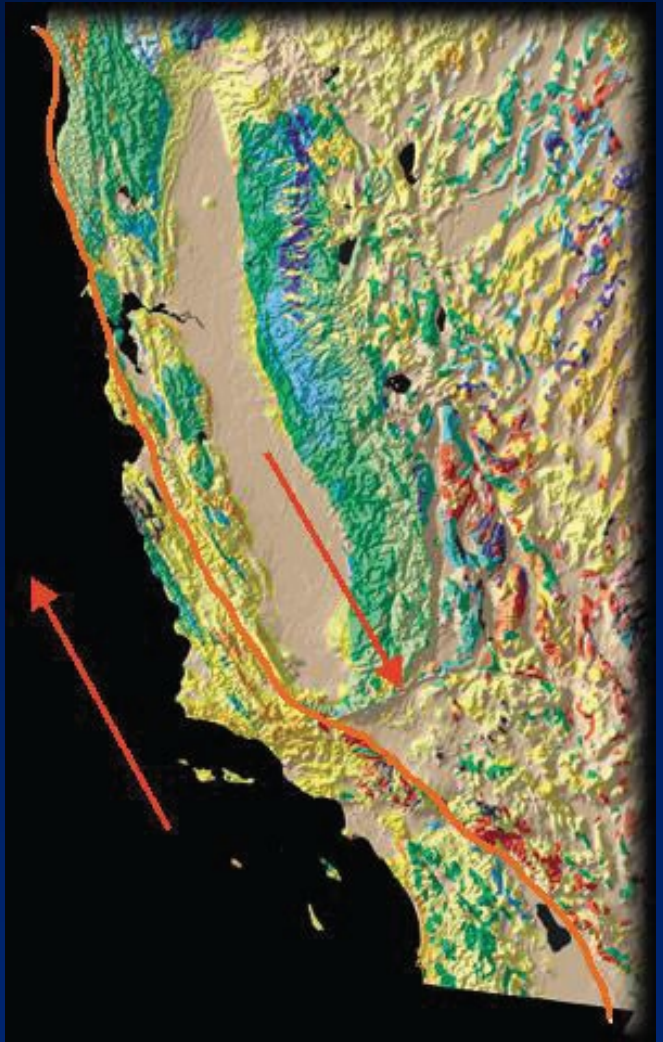
(b)

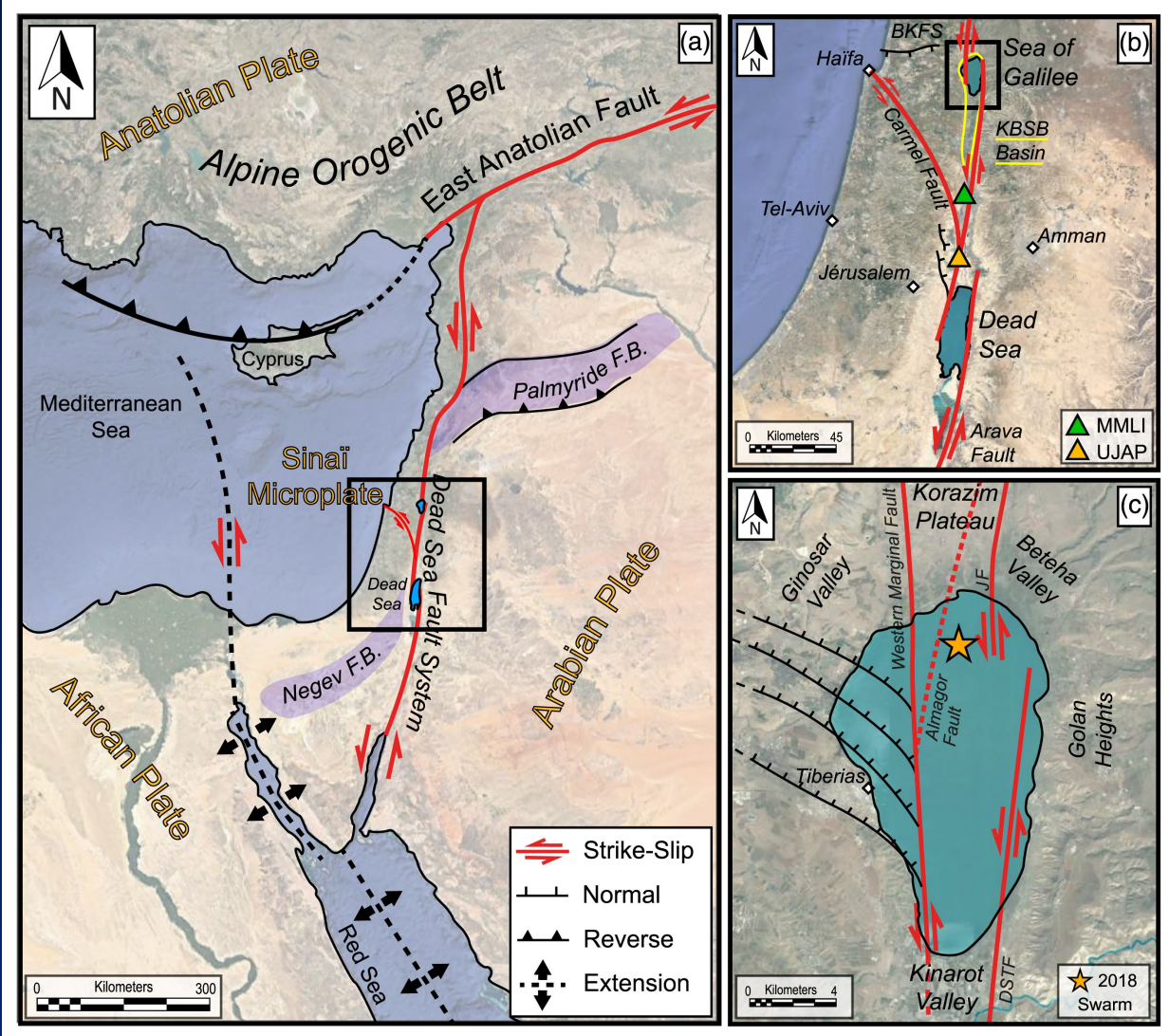


(c)



Associazioni di sistemi  
trascorrenti: la San Andreas  
fault (limite di placca)

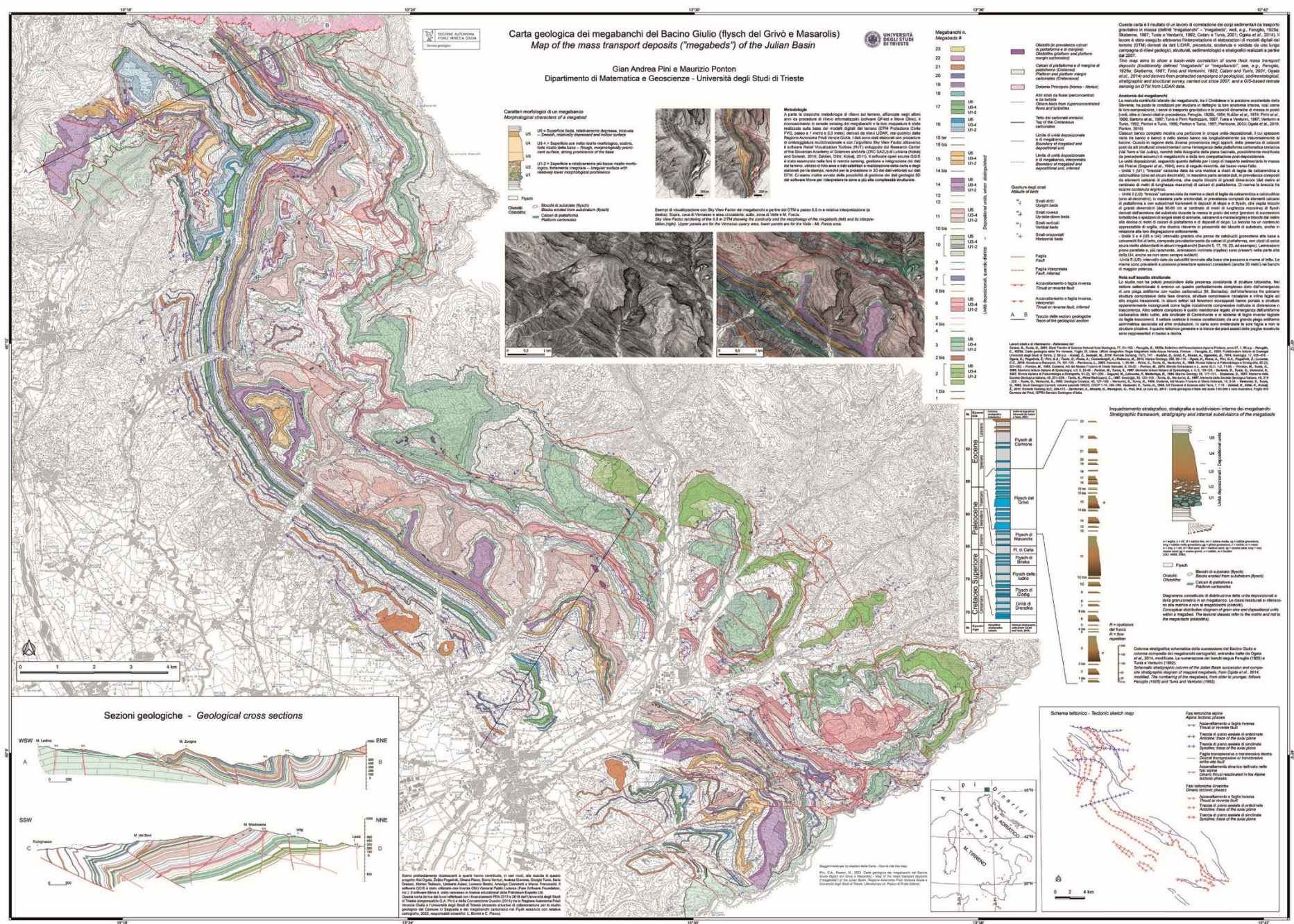




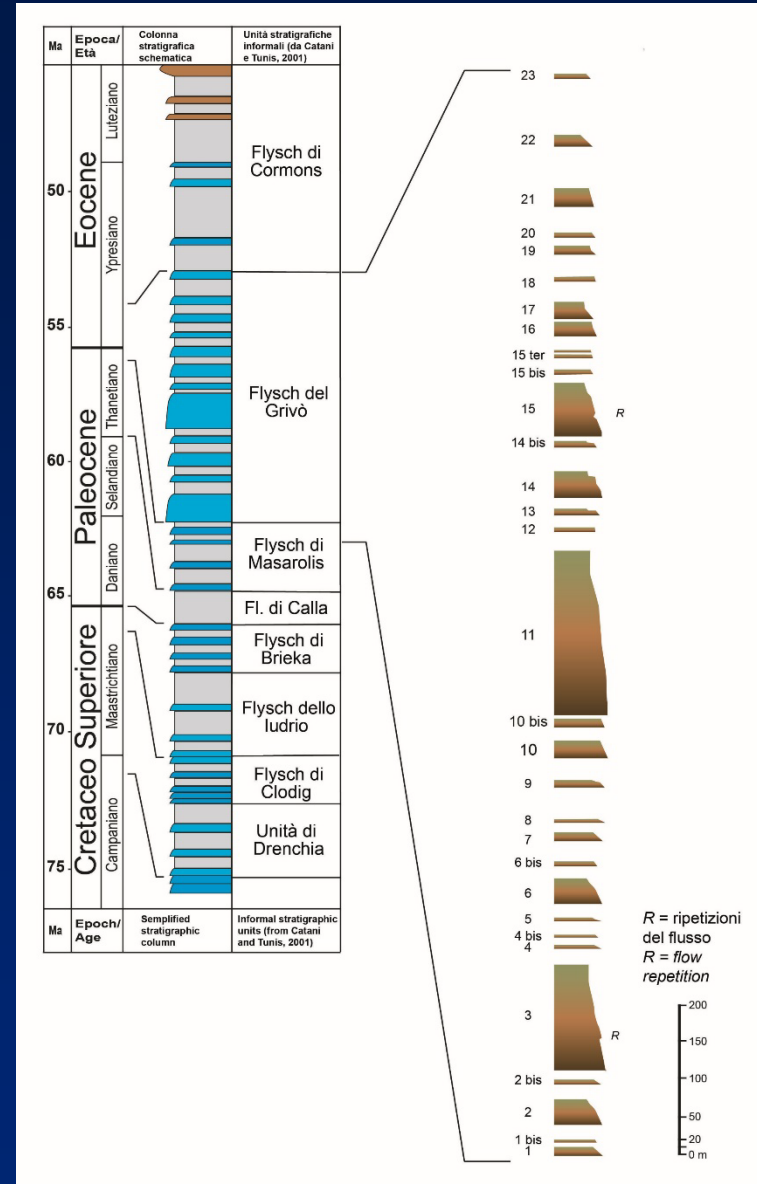
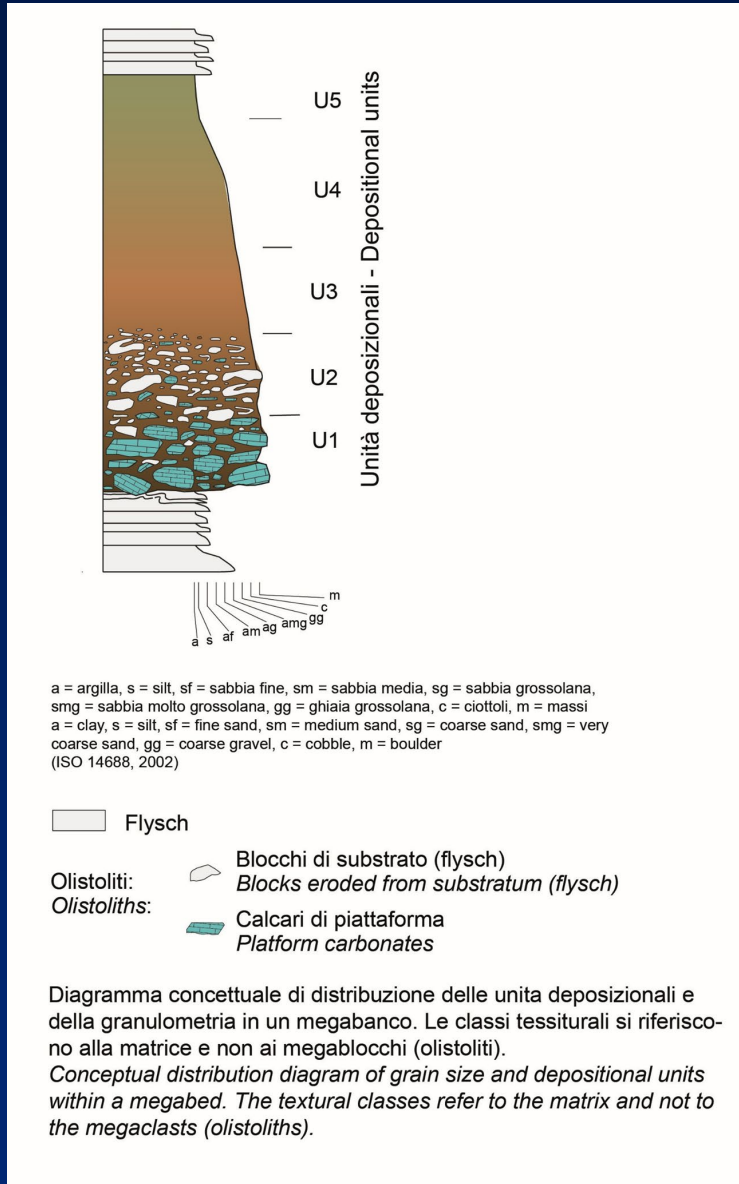
Associazioni di  
sistemi trascorrenti: i  
sistemi di trascorrenti  
sinistre del Mar Morto  
(limiti di placca)

Da Hadad et al., 2020

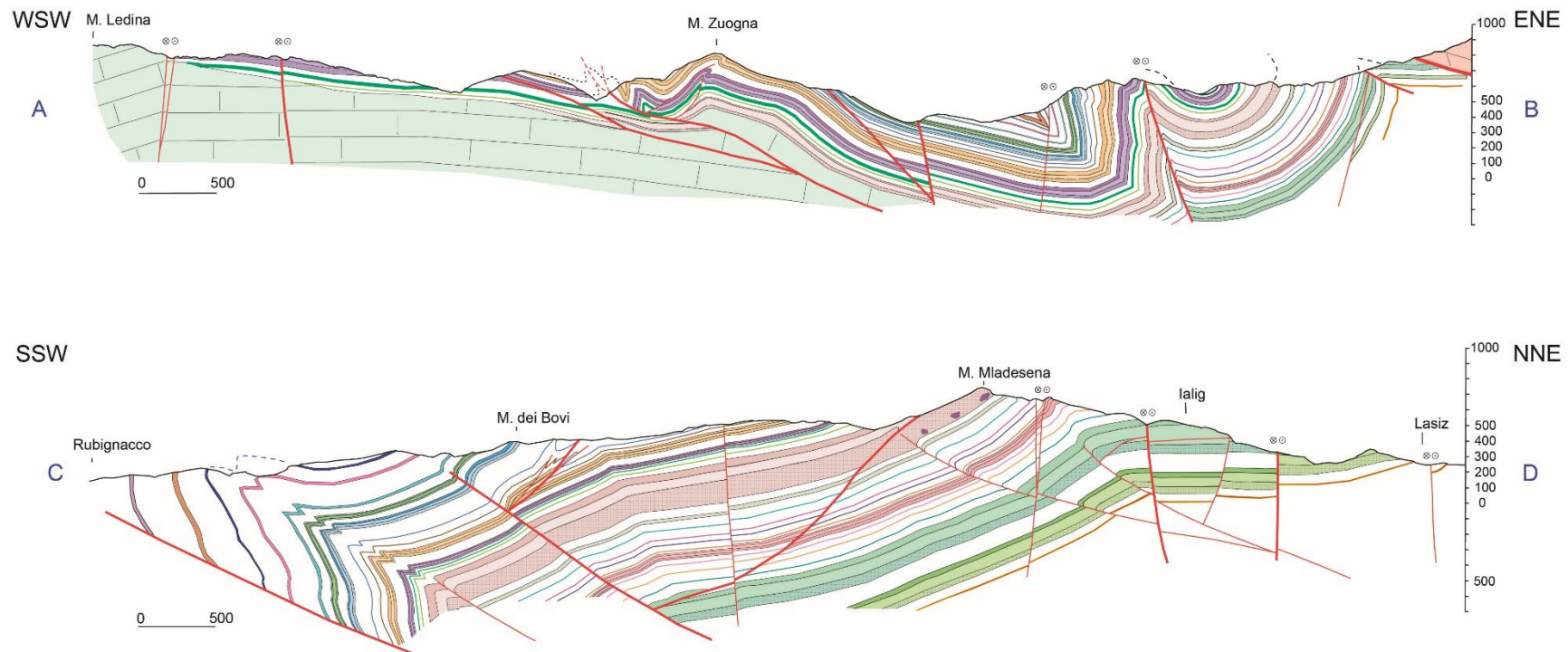
Associazioni di sistemi  
compressivi (sistemi di  
pieghe):  
due esempi italiani, ovvero,  
dalla carta geologica alle  
sezioni geologiche alla  
ricostruzione 3D



Sistemi compressivi: la deformazione dei megabanchi del Bacino Giulio (Cividalese)

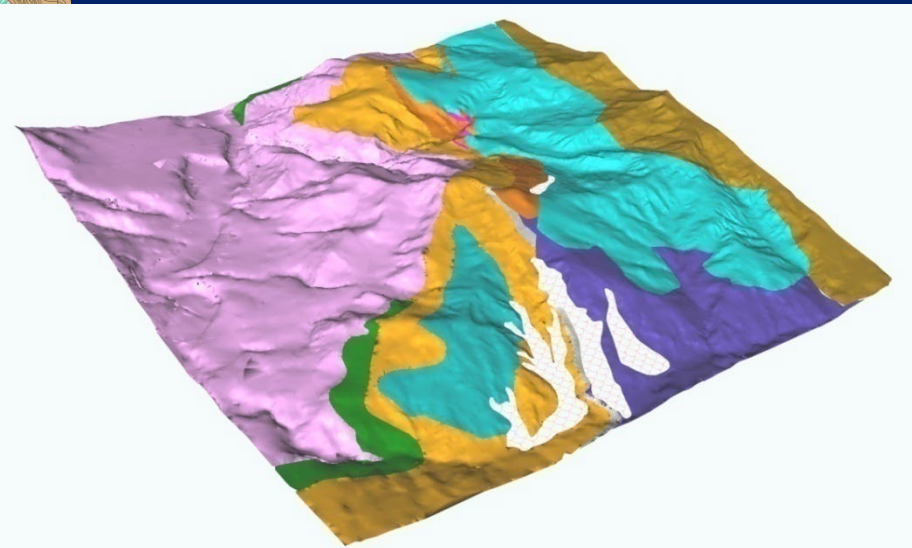
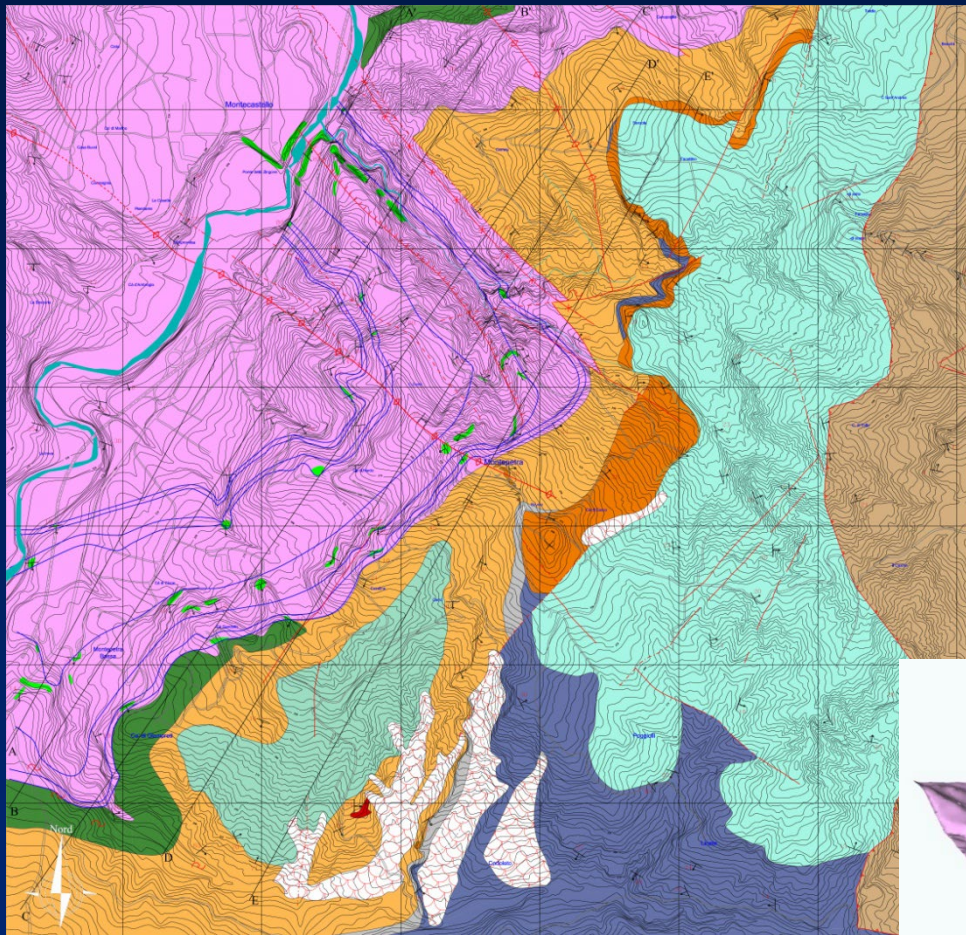


## Sezioni geologiche - Geological cross sections



Sistemi compressivi: la deformazione dei megabanchi del Bacino Giulio (Cividalese)

# Sistemi compressivi: le pieghe nei corpi grossolani della Marnoso-arenacea (Miocene, Appennino emiliano-romagnolo)



Immagini e fotografie tratte da:

- Ahmadi R. et al., 2006. The geomorphologic responses to hinge migration in the fault-related folds in the Southern Tunisian Atlas. *Journal of Structural Geology* 28, 721–728.
- Allmendinger R.W., 2008-2012  
[http://www.geo.cornell.edu/geology/classes/RWA/GS\\_326/photo\\_galleries/thrust\\_faults/mcconnell.html](http://www.geo.cornell.edu/geology/classes/RWA/GS_326/photo_galleries/thrust_faults/mcconnell.html)
- Banerjee S., Mitra S., 2005. Fold-thrust styles in the Absaroka thrust sheet, Caribou National Forest area, Idaho-Wyoming thrust belt. *Journal of Structural Geology* 27, 51–65.
- Kinoshita M., Tobin H., Thu M.K., and the Expedition 314 Scientists, 2009. NanTroSEIZE Stage 1A: NanTroSEIZE LWD Transect, Integrated Ocean Drilling Program Expedition 314 Preliminary Report [http://publications.iodp.org/preliminary\\_report/314/314PR.PDF](http://publications.iodp.org/preliminary_report/314/314PR.PDF)
- Moore G.F., Bangs N.L., Taira A., Kuramoto S., Pangborn E., Tobin H.J., 2007. Three-Dimensional Splay Fault Geometry and Implications for Tsunami Generation. *Science* 318, 1128.
- Moore G.F. et al., 2009. Structural and seismic stratigraphic framework of the NanTroSEIZE Stage 1 transect. *Proceedings of the Integrated Ocean Drilling Program*, Volume 314/315/316.
- ODP Publications <http://www-odp.tamu.edu/publications/>
- Ollerenshaw, N.C., 1978, Geology, Calgary, West of the Fifth Meridian, Alberta-British Columbia: in Geological Survey of Canada, Map 1457A, scale:1/250,000.
- Price R.A., 2000. The Southern Canadian Rockies: Evolution of a Foreland Thrust and Fold Belt.
- Ramsay J. G., Huber M. I., 1984. *The Techniques of Modern Structural Geology*. Volume 1: Strain analysis. Academic Press Inc.
- Ramsay J. G., Huber M. I., 1987. *The Techniques of Modern Structural Geology*. Volume 2: Folds and Fractures. Academic Press Inc.
- Selli L., 2006. Appunti dalle lezioni di Geologia Strutturale.
- Strasser M. et al., 2013. A slump in the trench: Tracking the impact of the 2011 Tohoku-Oki earthquake. *Geology*, 41 (8), 935–938.